

Blendgutachten Nr. S2306073 rev. 1

Osterhofen, den 12.01.2024







Blendgutachten

Nr. S2306073 rev.1

Auftraggeber: Herrn Michael Englberger

Kirchstraße 12 94533 Buchofen

	Name:	Unterschrift:
Ersteller:	Sarah Weiß M. Sc. Nachwachsende Rohstoffe	Weiß
Prüfer:	Sebastian Semmelbauer M. Sc. Elektro- und Informationstechnik	Sund

Dieser Bericht umfasst 12 Textseiten und 5 Anlagen. Die Veröffentlichung, auch auszugsweise, ist ohne unsere Zustimmung nicht zulässig.





Inhaltsverzeichnis

1.	Vorgang	1
1.1	Allgemein	1
1.2	Örtliche Situation	1
2.	Grundlagen für die Ermittlung und Beurteilung der Blendwirkung	2
2.1	Zugrunde gelegte Normen und Richtlinien	2
2.2	Planunterlagen und Ausgangsdaten	2
2.3	Immissionsorte	2
2.4	Beurteilung	4
2.5	Hindernisse, Höhen und Bestand	5
3.	Berechnungsgrundlagen	6
3.1	Grundlagen der Berechnung	6
3.2	Modulbelegung und Ausrichtung	6
4.	Ergebnisse	8
5.	Zusammenfassung	12



Tabellenverzeichnis

Tabelle 2.1 Planunterlagen Tabelle 2.3: Immissionsorte (Wohnbebauung) und Ihre Entfernung zur PV-Anlage Tabelle 2.2 Immissionsorte (Verkehr) und ihre Entfernung zur PV-Anlage in				
Blendrichtung	4			
Tabelle 4.1: Ergebnisse	8			
Abbildungsverzeichnis				
Abbildung 2.1: Immissionsorte	3			
Abbildung 3.1: Darstellung der Belegung	6			
Abbildung 3.2: Skizze Modulschnitt	7			
Abbildung 4.1: Gesamte Blenddauer pro Jahr	9			
Abbildung 4.2: Blickwinkelanalyse Bahnstrecke	10			
Abbildung 4.2: Blickwinkelanalyse Bahnstrecke Fortsetzung	10			
Abbildung 4.3: Blickwinkelanalyse Gemeindestraße Richtung Lahhof	11			
Änderungshistorie				

Bezeichnung	Beschreibung	Datum
S2306073	Initiale Erstellung	13.09.2023
S2306073 rev.1	Änderung der Modulplanung	12.01.2024

Anlagen

Anlage 1: Übersichtslageplan

Anlage 2: Lageplan

Anlage 3: Ergebnistabelle

Anlage 4: Eingabedaten

Anlage 5: Blendgutachten, Bericht Nr. 10.12.3009, SO Photovoltaik am Lohgraben

1. Vorgang

1.1 Allgemein

Herr Englberger (Kirchstraße 12, 94533 Buchofen) beabsichtigt die Errichtung des Solarparks "SO Photovoltaikpark Lahhof" auf den Flurnummern 593, 596, 699/1 TF, 701, 706 und 707 TF Gemarkung Niedermünchsdorf, und 2562/2 und 2562/3 Gemarkung Aicha a.d. Donau, Stadt Osterhofen, Landkreis Deggendorf, Regierungsbezirk Niederbayern.

Da sich im näheren Umgriff der geplanten Anlage die Bahnlinie Plattling-Osterhofen, eine Wohnbebauung und eine Gemeindestraße befindet, wurde das IB Geoplan mit der Untersuchung der Lichtreflexion durch die geplanten Module und eventuell dadurch entstehende störende Blendwirkungen auf die genannte Nutzung beauftragt.

Sollten durch die Lichtreflexionen erhebliche Blendwirkungen auftreten, werden Maßnahmen zur Minderung bzw. Vermeidung erarbeitet.

1.2 Örtliche Situation

Die Planfläche befindet sich auf den Flurnummern 593, 596, 699/1 TF, 701, 706 und 707 TF Gemarkung Niedermünchsdorf, und 2562/2 und 2562/3 Gemarkung Aicha a.d. Donau, Stadt Osterhofen.

Östlich der geplanten Anlage befindet sich bereits die PV-Anlage "SO Photovoltaikpark am Lohgraben" und weitere landwirtschaftlich genutzte Flächen. Westlich des Vorhabens grenzen ebenso landwirtschaftlich genutzte Flächen an. Des Weiteren ist südlich eine Gemeindestraße vorhanden. Nördlich der geplanten Anlage befindet sich der Weiler Lahhof.

2. Grundlagen für die Ermittlung und Beurteilung der Blendwirkung

2.1 Zugrunde gelegte Normen und Richtlinien

Bei der Ausarbeitung des Berichts wurden die folgenden Unterlagen verwendet:

Gesetz zum Schutz vor schädlichen Umwelteinwirkungen durch Luftverunreinigungen, Geräusche, Erschütterungen und ähnliche Vorgänge (Bundes-Immissionsschutzgesetz – BImSchG) in der Fassung der Bekanntmachung vom 17. Mai 2013 (BGB1. I S. 1274), zuletzt geändert durch Art. 3 G vom 18. Juli 2017 (BGB1. I S. 2771, 2773)

Bund/Länder-Arbeitsgemeinschaft für Immissionsschutz (LAI) "Hinweise zur Messung, Beurteilung und Minderung von Lichtimmissionen", Stand: 08.10.2012

OVE Richtlinie R 11-3: Blendung durch Photovoltaikanlagen

Ausgabe: 2016-11-01

2.2 Planunterlagen und Ausgangsdaten

Für die Erstellung des vorliegenden Berichts wurden folgende Daten und Unterlagen zur Verfügung gestellt:

Tabelle 2.1 Planunterlagen

Bezeichnung	Ersteller	Maßstab	Datum
Modulplanung Lahhof	Jahrstorfer Carola	1:750	12.09.2023
Gutachten SO Photovoltaikpark am Lohgraben Nr. 10.12.3009	IFB re-energy GmbH	-	07.05.2012
Berechnung IMMI	GeoPlan GmbH	-	11.01.2024

2.3 Immissionsorte

Immissionsorte die als kritisch zu betrachten sind liegen meistens südwestlich oder südöstlich einer Photovoltaikanlage sowie in einem Umkreis von maximal 100 m um die Anlage. Immissionsorte, die südlich einer Anlage liegen sind im Regelfall unproblematisch. Dasselbe gilt für Immissionsorte nördlich einer Anlage.

Als schutzbedürftig im Sinne des LAI-Merkblattes "Hinweise zur Messung, Beurteilung und Minderung von Lichtimmissionen" gelten die folgenden Räume:

- Wohnräume
- Schlafräume, einschließlich Übernachtungsräumen in Beherbergungsstätten und Bettenräume in Krankenhäuser und Sanatorien
- Unterrichtsräume in Schulen, Hochschulen und ähnlichen Einrichtungen
- Büroräume, Praxisräume, Arbeitsräume, Schulungsräume und ähnliche Arbeitsräume

Zusätzlich dazu sind Aufenthaltsbereiche im Freien (z. B. Terrassen und Balkone), in der Nutzungszeit von 06.00 – 22.00 Uhr, sowie unbebaute Flächen (auf denen nach Bauund Planungsrecht Gebäude mit schutzbedürftigen Räumen zugelassen sind) in einer Bezugshöhe von 2 m über Grund in die Beurteilung einzubeziehen.



Zusätzlich zu Immissionsorten bei schutzbedürftiger Nutzung ist auch die Blendwirkung auf umliegende Verkehrswege zu betrachten, da auch durch nur kurzzeitige Blendwirkungen eine erhebliche Störung der Sicht der Verkehrsteilnehmer resultieren kann.

Für die vorliegende Begutachtung wurden die folgenden Immissionsorte als maßgeblich betrachtet:



Abbildung 2.1: Immissionsorte

Bei der Bahnstrecke wurden mittig der nächstgelegenen Fahrbahn in einer Höhe von 2,5 m und in einem Abstand von 25 m zueinander Immissionspunkte eingetragen.

Auf der Straße wurden mittig der nächstgelegenen Fahrbahn in einer Höhe von 1,5 m und 2,5 m Immissionspunkte gesetzt. Der Abstand zueinander beträgt hier ebenfalls 25 m.

Bei den Immissionsorten an Wohnbebauungen wurden Höhen von 2,0 m sowie 5,0 m für zwei Etagen angenommen.



Insgesamt ergeben sich aus der Berechnung 54 Immissionsorte.

2.4 Beurteilung

Untersuchungen oder Beurteilungsvorschriften zur Blendung von Freiflächen-Photovoltaikanlagen sind bisher nicht vorhanden. Im Merkblatt des LAI "Hinweise zur Messung, Beurteilung und Minderung von Lichtimmissionen" wurde auf den periodischen Schattenwurf von Windenergieanlagen (gemäß Hinweisen zur Ermittlung und Beurteilung der optischen Immissionen von Windenergieanlagen (WEA-Schattenwurf-Hinweise des LAI) als Beurteilungsgrundlage verwiesen. Die Schwellenwerte für eine zulässige Einwirkdauer wurden dementsprechend festgesetzt.

Gemäß dem WEA-Schattenwurf-Hinweisen liegt eine erhebliche Belästigung durch Blendung im Sinne des Bundes-Immissionsschutzgesetzes (BImSchG) vor, wenn eine tägliche Blenddauer von 30 Minuten sowie eine jährliche Blenddauer von 30 Stunden überschritten wird. Separate Normen, Vorschriften oder Richtlinien für Straßen-, Bahnund Flugverkehr existieren nicht.

Tabelle 2.2: Immissionsorte (Wohnbebauung) und Ihre Entfernung zur PV-Anlage

Name	Ort	Entfernung zur PV-Anlage / Bewertung
IO 1		Im direkten Anschluss an die Planfläche. Blendung unwahrscheinlich, da nördlich der Anlage. Wird im Zuge einer sicheren Betrachtung dennoch in die Berechnungen mit einbezogen.

Der Bereich Verkehr wird im Merkblatt des LAI nicht genauer betrachtet, diverse Beurteilungen zu Blickrichtungen fehlen hier vollständig. Die OVE Richtlinie R11-3 (Blendung durch Photovoltaikanlagen) des österreichischen Verbandes für Elektrotechnik hingegen beschreibt, dass Blendungen in einem Raumwinkel von etwa 30° zur Hauptblickrichtung relevant sind. Die Ausrichtung der Hauptblickrichtung eines Fahrers orientiert sich hauptsächlich am Fahrbahnverlauf.

Tabelle 2.3 Immissionsorte (Verkehr) und ihre Entfernung zur PV-Anlage in Blendrichtung

Name	Ort	Entfernung zur PV-Anlage / Bewertung
Bahnstrecke	Östlich der geplanten Anlage	Im direkten Anschluss an die Anlage. Blendung möglich => genauere Betrachtung notwendig
Gemeindestra ße bei Lahhof	Südlich der geplanten Anlage	Im direkten Anschluss an die Anlage. Blendung möglich => genauere Betrachtung notwendig

2.5 Hindernisse, Höhen und Bestand

Für die Bestimmung der Blendwirkung wurden die Geländehöhen des Bayerischen Vermessungsamtes, im Modell berücksichtigt. Damit sind alle Geländeausprägungen, die einen Einfluss auf die Sichtbeziehung von PV-Anlage und Immissionsort haben, einbezogen.

Bewuchs durch Bäume und Sträucher zwischen den Solarmodulen der Planfläche und einem Immissionsort, welcher für eine Abschirmung sorgt, ist nur in geringem Umfang am IO 1 und z.T. an der Bahnstrecke vorhanden.

Weitere Hindernisse, wie etwa Gebäude oder größere Gebilde, die zur Unterbrechung der Sichtbeziehung zwischen PV-Anlage und Immissionsort beitragen würden, sind nur am IO 1 vorhanden. Im Zuge einer sicheren Betrachtung wurden diese jedoch nicht in die Betrachtung miteinbezogen, da sich Gebäude z.B. durch Neubau, jederzeit ändern können.

Östlich der geplanten Anlage befindet sich im direkten Anschluss die bestehende Anlage "SO Photovoltaikpark am Lohgraben". Hierfür wurde im Mai 2012 ein Blendgutachten (Gutachten SO Photovoltaikpark am Lohgraben Nr. 10.12.3009) erstellt. Der Immissionsort IO 1 und die Bahnlinie Plattling-Osterhofen waren bereits Immissionsorte, welche im Gutachten von "SO Photovoltaikpark am Lohgraben" betrachtet wurden. Im Worst-Case-Fall kommt es durch den Bau der neuen Anlage zu einer Summierung der Blendminuten von "SO Photovoltaikpark am Lohgraben" und "SO Photovoltaikpark Lahhof" am Immissionsort IO 1 oder durch eine andere Modultisch Neigung/Ausrichtung zu einer Blendung entlang der Bahnstrecke.

3. Berechnungsgrundlagen

3.1 Grundlagen der Berechnung

Die Durchführung der Blendberechnung erfolgt EDV-gestützt durch die Software IMMI (Version 2023) der Firma Wölfel.

Als Berechnungsgrundlage werden die Sonnenstände für das Jahr 2023 angewendet. Die Berechnung erfolgt dabei im 1-Minuten-Rhythmus. Blendung durch direkt von der Sonne ausgehende Strahlen (keine Reflexion) werden nicht berücksichtigt, da diese auch beim jetzigen Zustand bereits vorhanden sind.

Gemäß dem LAI-Hinweis zur Messung, Beurteilung und Minderung von Lichtimmissionen wurde die Berechnung mit den folgenden idealisierten Annahmen durchgeführt:

- Die Sonne ist punktförmig.
- Das Modul ist ideal verspiegelt, d. h. es kann das Reflexionsgesetzt "Einfallswinkel gleich Ausfallswinkel" angewendet werden.
- Die Sonne scheint von Aufgang bis Untergang, d. h. die Berechnung liefert die astronomisch maximal möglichen Immissionszeiträume.
- Zwischen Reflexions- und Sonnenstrahl liegt ein Mindestwinkel von 10°.

3.2 Modulbelegung und Ausrichtung

Die zu untersuchende Photovoltaikanlage umfasst eine geplante Fläche von ca. 13 ha. Dabei sind 38 Modulreihen mit Längen zwischen ca. 8 und 321 m geplant. Es ist eine feste Aufständerung mit Modultischen vorgesehen.



Abbildung 3.1: Darstellung der Belegung



Dabei liegt die Oberkante der Module bei einer Höhe von 3,90 m und die Unterkante bei 1,2 m.

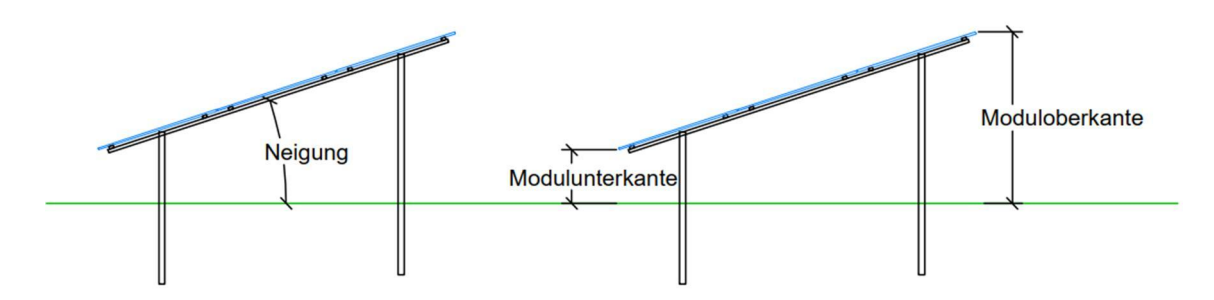


Abbildung 3.2: Skizze Modulschnitt

4. Ergebnisse

Nachfolgend werden für die untersuchten Immissionsorte die Ergebnisse aufgeführt. Dabei wird für den Untersuchungsraum der Immissionsort mit den meisten Blendminuten pro Jahr angenommen:

Tabelle 4.1: Ergebnisse

Untersuchungsraum	Blenddauer pro Jahr [min]	Anzahl Blendtage	Maximale Blenddauer pro Tag [min]	Tag der maximalen Blendung
Bahnstrecke	910	114	12	09.08.
Gemeindestraße Lahhof	631	91	10	17.06.
IO 1	0	0	0	-

Die maximale Blendung für die Bahnstrecke ergibt sich am 09. August mit einer maximalen Blenddauer von 12 Minuten. Insgesamt ergibt sich eine Blenddauer von 910 Minuten für das gesamte Jahr.

Darüber hinaus berechnet sich für die Straße Richtung Lahhof am 17. Juni eine maximale Blenddauer von 10 Minuten. Insgesamt ergibt sich eine Blenddauer von 631 Minuten pro Jahr.

Am Immissionsort IO 1 liegt keine Blendung vor.

Gemäß den LAI-Hinweisen kann eine erhebliche Belästigung durch die Anlage an den Wohngebäuden ausgeschlossen werden, da die Schwellenwerte von 30 Minuten pro Tag sowie 30 Stunden pro Jahr (1.800 Minuten pro Jahr) am IO 1 unterschritten werden.

In der nachfolgenden Abbildung sind die gesamten Blendminuten pro Jahr an den einzelnen Immissionspunkten im Lageplan dargestellt. Dabei ist ersichtlich, dass die höchste Blendung entlang der Bahnstrecke auftritt.



Abbildung 4.1: Gesamte Blenddauer pro Jahr

Da im Bereich der Straße/Bahnstrecke gemäß den Berechnungen auch Blendungen auftreten, wurde hier eine Blickwinkelanalyse durchgeführt. Die OVE Richtlinie R11-3 (Blendung durch Photovoltaikanlagen) des österreichischen Verbandes für Elektrotechnik beschreibt, dass Blendungen in einem Raumwinkel von etwa 30° zur Hauptblickrichtung relevant sind. Die Ausrichtung der Hauptblickrichtung eines Fahrers orientiert sich hauptsächlich am Fahrbahnverlauf.

Gemäß dieser Annahme sind Blendungen entlang der Bahnstrecke Plattling-Osterhofen unwahrscheinlich, da diese nach Berechnungen außerhalb von etwa 30° zur Hauptblickrichtung liegen:



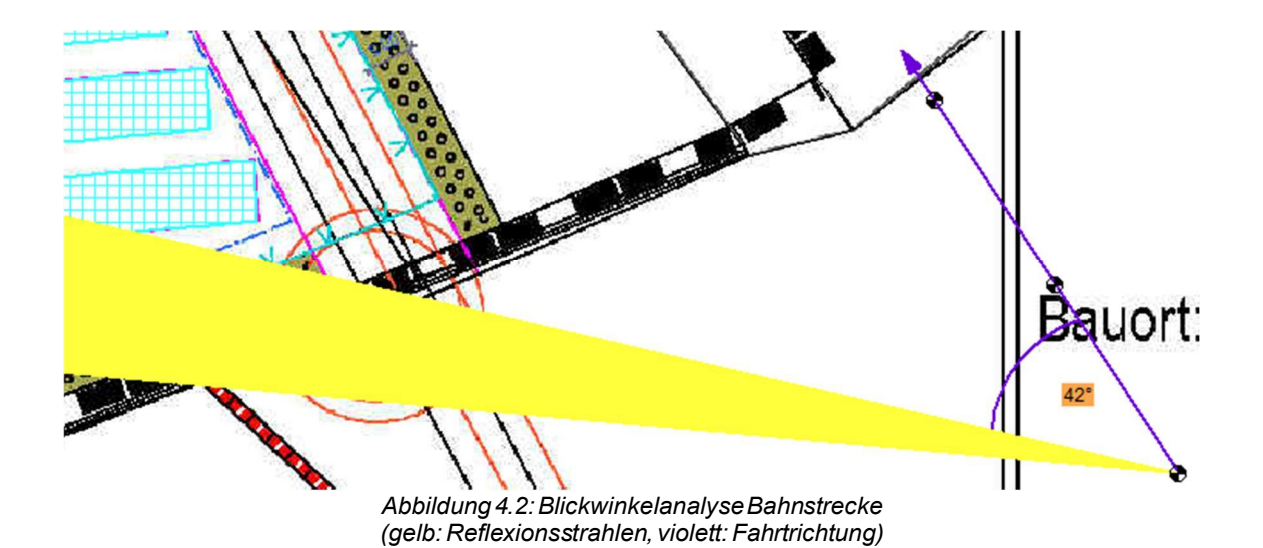


Abbildung 4.3: Blickwinkelanalyse Bahnstrecke Fortsetzung (gelb: Reflexionsstrahlen, violett: Fahrtrichtung)

Auch Blendungen entlang der Gemeindestraße Richtung Lahhof sind unwahrscheinlich, da diese nach Berechnungen außerhalb von etwa 30° zur Hauptblickrichtung liegen:

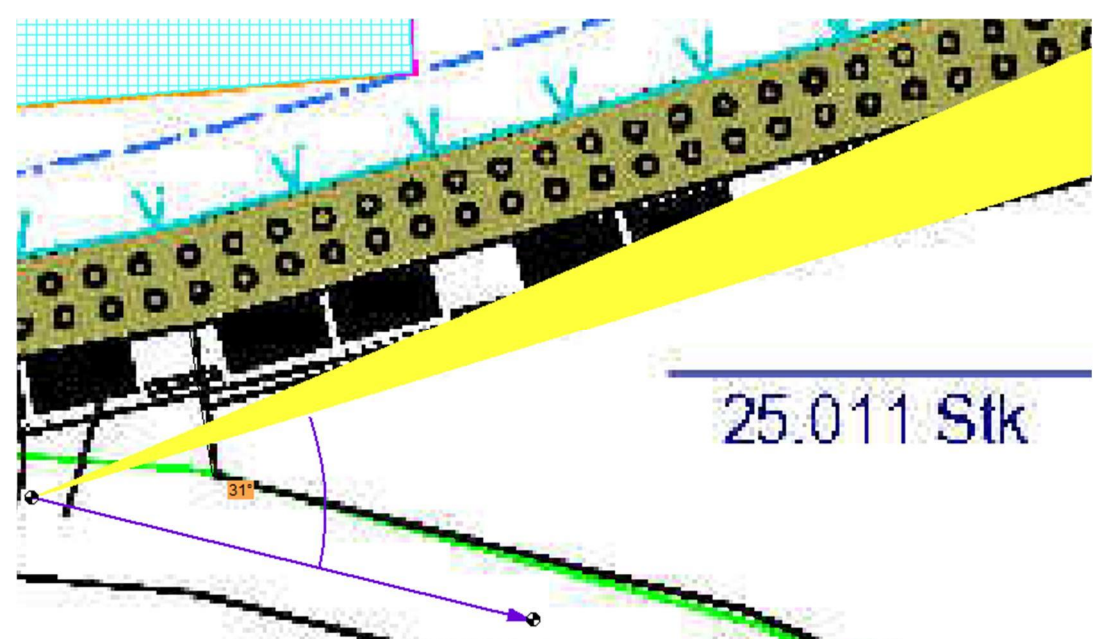


Abbildung 4.4: Blickwinkelanalyse Gemeindestraße Richtung Lahhof (gelb: Reflexionsstrahlen, violett: Fahrtrichtung)

Östlich der geplanten Anlage befindet sich im direkten Anschluss die bestehende Anlage "SO Photovoltaikpark am Lohgraben". Der Immissionsort IO 1 und die Bahnlinie Plattling-Osterhofen waren bereits Immissionsorte, welche im Gutachten von "SO Photovoltaikpark am Lohgraben" betrachtet wurden.

Da am Immissionsort für die Planung des "SO Photovoltaikpark Lahhof" keine Blendung vorliegt, kann eine Überschreitung des Schwellenwertes durch Summierung gemäß LAI-Hinweis ausgeschlossen werden.

Des Weiteren zeigen die Berechnungen für die Anlage SO Photovoltaikpark Lahhof, dass die Blendungen nicht in einem Raumwinkel von etwa 30° zur Hauptblickrichtung der Fahrer liegen. Somit ist von keiner signifikanten Änderung der Blendung an der Bahnstrecke im Vergleich zum bestehenden Gutachten (Gutachten SO Photovoltaikpark am Lohgraben Nr. 10.12.3009) auszugehen. Eine Blendung entlang der Bahnstrecke ist somit nicht zu erwarten.

5. Zusammenfassung

Herr Englberger (Kirchstraße 12, 94533 Buchofen) beabsichtigt die Errichtung des Solarparks "SO Photovoltaikpark Lahhof" auf den Flurnummern 593, 596, 699/1 TF, 701, 706 und 707 TF Gemarkung Niedermünchsdorf, und 2562/2 und 2562/3 Gemarkung Aicha a.d. Donau, Stadt Osterhofen, Landkreis Deggendorf, Regierungsbezirk Niederbayern.

Da sich im näheren Umgriff der geplanten Anlage die Bahnlinie Plattling-Osterhofen, eine Wohnbebauung und eine Gemeindestraße befindet, wurde das IB Geoplan mit der Untersuchung der Lichtreflexion durch die geplanten Module und eventuell dadurch entstehende störende Blendwirkungen auf die genannte Nutzung beauftragt.

Als Beurteilungsgrundlage wurde das LAI-Merkblatt "Hinweise zur Messung, Beurteilung und Minderung von Lichtimmissionen" und die OVE Richtlinie "R 11-3: Blendung durch Photovoltaikanlagen Ausgabe: 2016-11-01" herangezogen.

Folgende Ergebnisse konnten für die betrachteten Immissionsorte berechnet werden:

IO 1: keine Blendung vorhanden
 Bahnstrecke Plattling-Osterhofen
 Gemeindestraße Richtung Lahhof: keine relevante Blendung vorhanden

Somit sind unter den im vorliegenden Untersuchungsbericht behandelten Voraussetzungen (Annahmen zur Berechnung, Planungsunterlagen) keine erheblichen Belästigungen durch Blendung zu erwarten.

Dieses Gutachten basiert auf den derzeit aktuellen Planungen. Bei Planungsänderungen ist der Berichtersteller hinzuzuziehen, da sich aufgrund von Abweichungen andere Resultate ergeben können.





Lage des Untersuchungsgebiets

Photovoltaikpark Lahhof

Blendgutachten SO Photovoltaikpark





Geoplan GmbH Donau-Gewerbepark5 94486Osterhofen

Legende

Hilfslini

△ Höhenpunkt

ImmissionspunktModul(REFF)

□ Sonne /FOTO

Firma:	Geoplan GmbH		
Bearbeiter:	Sarah Weiss		
Projekt:	Blendgutachten	SO Photovoltaikpark Lahhof	ohne Maßnahmen

Fotovoltaik		Punktberec	hnung							
Fotovoltaik-Berechnung		Punktberechnung								
ohne Maßn	nahm en	Einstellung:	Kopie von "	Referenzeins	ellung"					
	Immissionspunkt	Gesamte	Anzahl	Mittlere	Tag max.	Maximale	Erste	Letzte	Tag 1.	Tag letzte
		Blenddauer	Blendtage	Blenddauer	Blendung	Blenddauer	Blendzeit	Blendzeit	Blendung	Blendung
		/min		/min	_	/min			_	
IPkt001	Bahnstrecke 1 H 1N/W	0	0	0	-	0	-	-	-	-
IPkt002	Bahnstrecke 2 H 1N/W	0	0	0	-	0	-	-	-	-
IPkt003	Bahnstrecke 3 H 1N/W	0	0	0	-	0	-	-	-	-
IPkt004	Bahnstrecke 4 H 1N/W	0	0	0	-	0	-	-	-	-
IPkt005	Bahnstrecke 5 H 1N/W	0	0	0	-	0	-	-	-	-
IPkt006	Bahnstrecke 6 H 1N/W	0	0	0	-	0	-	-	-	-
IPkt007	Bahnstrecke 7 H 1N/W	0	0	0	-	0	-	-	-	-
IPkt008	Bahnstrecke 8 H 1N/W	0	0	0	-	0	-	-	-	-
IPkt009	Bahnstrecke 9 H 1N/W	0	0	0	-	0	-	-	-	-
IPkt010	Bahnstrecke 10 H 1N/W	0	0	0	-	0	-	-	-	-
IPkt011	Bahnstrecke 11 H 1N/W	14	14	1	03.04.	1	18:55	19:10	03.04.	05.09.
IPkt012	Bahnstrecke 12 H 1N/W	630	105	6	01.05.	12	18:59	19:22	24.04.	17.08.
IPkt013	Bahnstrecke 13 H 1N/W	910	114	8	09.08.	12	19:00	19:23	22.04.	19.08.
IPkt014	Bahnstrecke 14 H 1N/W	892	120	7	29.04.	11	19:01	19:24	21.04.	20.08.
IPkt015	Bahnstrecke 15 H 1N/W	910	123	7	01.06.	11	19:01	19:23	19.04.	22.08.
IPkt016	Bahnstrecke 16 H 1N/W	836	127	7	26.04.	10	19:01	19:23	18.04.	23.08.
IPkt017	Bahnstrecke 17 H 1N/W	803	128	6	26.04.	10	19:01	19:23	17.04.	24.08.
IPkt018	Bahnstrecke 18 H 1N/W	749	130	6	19.05.	10	19:01	19:23	15.04.	26.08.
IPkt019	Bahnstrecke 19 H 1N/W	600	134	4	14.05.	9	19:01	19:23	13.04.	27.08.
IPkt020	Bahnstrecke 20 H 1N/W	630	129	5	02.08.	9	19:02	19:23	14.04.	27.08.
IPkt021	Bahnstrecke 21 H 1S/O	647	128	5	04.05.	8	19:03	19:23	15.04.	26.08.
IPkt022	Bahnstrecke 22 H 1S/O	586	117	5	02.05.	8	19:04	19:23	15.04.	26.08.
IPkt023	Bahnstrecke 23 H 1S/O	497	105	5	02.05.	8	19:04	19:23	28.04.	24.08.
IPkt024	Bahnstrecke 24 H 1S/O	459	109	4	08.08.	8	19:05	19:23	26.04.	15.08.
IPkt025	Bahnstrecke 25 H 1S/O	384	100	4	17.05.	8	19:05	19:23	24.04.	16.08.
IPkt026	Bahnstrecke 26 H 1S/O	485	112	4	28.04.	8	19:05	19:23	23.04.	17.08.
IPkt027	Bahnstrecke 27 H 1S/O	522	113	5	11.08.	8	19:05	19:23	22.04.	19.08.
IPkt028	Bahnstrecke 28 H 1S/O	562	113	5	29.04.	12	19:07	19:23	23.04.	18.08.
IPkt029	Bahnstrecke 29 H 1S/O	471	116	4	17.05.	9	19:08	19:23	22.04.	17.08.
IPkt030	Bahnstrecke 30 H 1S/O	417	115	4	17.05.	9	19:08	19:23	24.04.	17.08.
IPkt031	Bahnstrecke 31 H 1S/O	354	109	3	05.06.	11	19:09	19:23	24.04.	16.08.
IPkt032	Bahnstrecke 32 H 1S/O	351	107	3	05.06.	12	19:09	19:23	24.04.	13.08.
IPkt033	Bahnstrecke 33 H 1S/O	230	109	2	17.05.	6	19:10	19:23	26.04.	15.08.
IPkt034	Bahnstrecke 34 H 1S/O	234	110	2	21.06.	9	19:10	19:23	26.04.	15.08.
IPkt035	IO 1	0	0	0	-	0	-	-	-	-
IPkt036	IO 1*	0	0	0	-	0	-	-	-	-
IPkt048	Straße Lahhof PKW 2 H 1N/W	601	90	7	18.06.	10	06:45	07:01	08.05.	05.08.
IPkt049	Straße Lahhof PKW 3 H 1N/W	358	62	6	11.06.	8	06:47	06:59	21.05.	21.07.
IPkt050	Straße Lahhof PKW 4 H 1N/W	0	0	0	-	0	-	-	-	-
IPkt051	Straße Lahhof PKW 5 H 1Nor	0	0	0	-	0	-	-	-	-
IPkt052	Straße Lahhof PKW 6 H 10st	0	0	0	-	0	-	-	-	-
IPkt053	Straße Lahhof PKW 7 H 10st	0	0	0	-	0	-	-	-	-
IPkt054 IPkt055	Straße Lahhof PKW 8 H 10st	0	0	0	-	0	-	-	-	-
	Straße Lahhof PKW 9 H 1S/O Straße Lahhof PKW 10 H 1S/O	0	0		-		-	-	-	-
IPkt056 IPkt058	Straße Lahhof LKW 2 H 1N/W	631	91	7	17.06.	10	06:47	07:02	07.05.	05.08.
IPkt058	Straße Lannof LKW 2 H 1N/W	361	63	6	15.06.	8	06:47	07:02	21.05.	22.07.
IPkt059	Straße Lannor LKW 3 H 1N/W	0	0	0	13.06.	0	00.48	07.00	21.05.	22.01.
IPkt060	Straße Lannor LKW 4 H 1N/W	0	0	0	-	0	_	_	_	-
IPkt062	Straße Lahhof LKW 6 H 10st	0	0	0	-	0	-	_	-	-
IPkt062	Straße Lahhof LKW 7 H 10st	0	0	0	-	0	-	_	-	-
IPkt064	Straße Lahhof LKW 7 H 10st	0	0	0	-	0	<u> </u>	-	_	-
IPkt065	Straße Lahhof LKW 9 H 1S/O	0	0	0	-	0			_	
IPkt066	Straße Lahhof LKW 10 H 1S/C		0	0	-	0	<u> </u>	_	-	-
וו־גנטסס	Straise Latillot LNW TO H 15/C					1 0		_		

Blendgutachten SO Photovoltaikpark Lahhof - Ergebnisse





Geoplan GmbH Donau-Gewerbepark5 94486Osterhofen

Legende

Hilfslinie

△ Höhenpunkt

Immissionspunkt

Modul(REFF)

□ Sonne /FOTO

Firma:	Geoplan GmbH		
Bearbeiter:	Sarah Weiss		
Projekt:	Blendgutachten	SO Photovoltaikpark Lahhof	

Projekt Eigenschaften						
Prognosetyp:	Fotovoltaik-Reflexionen	Fotovoltaik-Reflexionen				
Prognoseart:	Fotovoltaik-Blendung					
Beurteilung nach:	Keine Beurteilung	Nr.	Zeitraum	Dauer /h		
1 Tag 16.1						
Projekt-Notizen	·					

Arbeitsbereich								
Koordinatensystem:	UTM (Streifenbreite 6°), nördliche He	emisphäre						
Koordinatendatum:	WGS84 (Weltweit GPS), geozentrise	ch						
Meridianstreifen:	32							
	von	bis	Ausdehnung	Fläche				
x/m	789830.00	789830.00 795740.00		17.85 km²				
y /m	5402550.00	5405570.00	3020.00					
z/m	-10.00	330.00	340.00					
Geländehöhen in den Eckpunkten	Geländehöhen in den Eckpunkten							
xmin / ymax (z4)	316.68 xmax/ymax (z3) 315.42							
xmin / ymin (z1)	318.32	xmax / ymin (z2)	315.54	_				

Zuordnung von Elementgruppen zu den Varianten								
Elementgruppen	Variante 0	ohne Maßnahmen	Blickwinkelanalyse					
Gruppe 0	+	+	+					
GEBAEUDE_UMRING	+	+	+					
BAUWERKE_UMRING	+	+	+					
GRENZPUNKT_GENAU	+	+	+					
GRENZPUNKT_SONSTIGER	+	+	+					
BESONDERERGEBAEUDEPUNKT_SONSTIGER	+	+	+					
BESONDERERGEBAEUDEPUNKT_GENAU	+	+	+					
FLURSTUECK	+	+	+					
NICHTFESTGESTELLTEGRENZE	+	+	+					
KATASTERBEZIRK	+	+	+					
GRENZEGEMEINDE	+	+	+					
GRENZEVERWALTUNGSGEMEINSCHAFT	+	+	+					
FLURSTUECKSNUMMER	+	+	+					
HAUSNUMMER	+	+	+					
FLURSTUECKSPFEIL	+	+	+					
Blickwinkel	+		+					

Verfügbare Raster											
Name	x min	x max	y min	y max	dx	dy	nx	ny	Bezug	Höhe /m	Bereich
	/m	/m	/m	/m	/m	/m					
Raster 0	789830.00	795740.00	5402550.00	5405570.00	20.00	20.00	296	152	relativ	4.00	Arbeitsbereich

Berechnungseinstellung Kopie von "Referenzeinstellung"				
Rechenmodell	Punktberechnung	Rasterberechnung		
Gleitende Anpassung des Erhebungsgebietes an die Lage des IPKT				
L/m				
Geländekanten als Hindernisse	Ja	Ja		
Verbesserte Interpolation in den Randbereichen	Ja	Ja		
Freifeld vor Reflexionsflächen /m				
für Quellen	1.0	1.0		
für Immissionspunkte	1.0	1.0		
Haus: weißer Rand bei Raster	Nein	Nein		
Zwischenausgaben	Keine	Keine		
Art der Einstellung	Referenzeinstellung	Referenzeinstellung		
Reichweite von Quellen begrenzen:				
* Suchradius /m (Abstand Quelle-IP) begrenzen:	Nein	Nein		
* Mindest-Pegelabstand /dB:	Nein	Nein		
Projektion von Linienquellen	Ja	Ja		
Projektion von Flächenquellen	Ja	Ja		
Beschränkung der Projektion	Nein	Nein		
* Radius /m um Quelle herum:				
* Radius /m um IP herum:				
Mindestlänge für Teilstücke /m	1.0	1.0		
Variable MinLänge für Teilstücke:				
* in Prozent des Abstandes IP-Quelle	Nein	Nein		
Zus. Faktor für Abstandskriterium	1.0	1.0		
Einfügungsdämpfung abweichend von Regelwerk:	Nein	Nein		
* Einfügungsdämpfung begrenzen:				
* Grenzwert /dB für Einfachbeugung:				

Firma:	Geoplan GmbH		
Bearbeiter:	Sarah Weiss		
Projekt:	Blendgutachten	SO Photovoltaikpark Lahhof	

Berechnungseinstellung	Berechnungseinstellung Kopie von "Referenzeinstellung"		
Rechenmodell	Punktberechnung	Rasterberechnung	
* Grenzwert /dB für Mehrfachbeugung:			
Berechnung der Abschirmung bei VDI 2720, ISO9613			
* Seitlicher Umweg	Ja	Ja	
* Seitlicher Umweg bei Spiegelquellen	Nein	Nein	
Reflexion			
Reflexion (max. Ordnung)	1	1	
Suchradius /m (Abstand Quelle-IP) begrenzen:	Nein	Nein	
* Suchradius /m			
Reichweite von Refl.Flächen begrenzen:			
* Radius um Quelle oder IP /m:	Nein	Nein	
* Mindest-Pegelabstand /dB:	Nein	Nein	
Spiegelquellen durch Projektion	Ja	Ja	
Keine Refl. bei vollständiger Abschirmung	Ja	Ja	
Strahlen als Hilfslinien sichern	Nein	Nein	
Teilstück-Kontrolle			
Teilstück-Kontrolle nach Schall 03:	Ja	Ja	
Teilstück-Kontrolle auch für andere Regelwerke:	Nein	Nein	
Beschleunigte Iteration (Näherung):	Nein	Nein	
Geforderte Genauigkeit /dB:	0.1	0.1	
Zwischenergebnisse anzeigen:	Nein	Nein	

Globale Parameter		Kopie von "Refe	renzeinstellung"		
Voreinstellung von G außerhalb von DBOD-Elementen			0.00		
Temperatur /°			10		
relative Feuchte /%			70		
Wohnfläche pro Einw. /m² (=0.8*Brutto)			40.00		
Mittlere Stockwerkshöhe in m			2.80		
Pauschale Meteorologie (Directive 2002/49/EC):	Tag	Abend	Nacht		
Pauschale Meteorologie (Directive 2002/49/EC):	2.00	1.00	0.00		

Er	missionsvarian	iten		
T1		gesamte Blenddauer		

Immissionsp	ounkt (54)						Variante 0
	Bezeichnung	Gruppe		Richtwerte /dB(A)	Nutzung	T1	
				Geometrie: x /m	y /m	z(abs) /m	z(rel) /m
IPkt001	Bahnstrecke 1 H 1N/W	Gruppe 0		Richtwerte /dB(A)		-99.00	
	Geometrie		Nr	x/m	y/m	z(abs) /m	! z(rel) /m
			Geometrie:	792649.81	5404219.20	319.33	2.50
IPkt002	Bahnstrecke 2 H 1N/W	Gruppe 0		Richtwerte /dB(A)		-99.00	
	Geometrie		Nr	x/m	y/m	z(abs) /m	! z(rel) /m
			Geometrie:	792663.95	5404198.58	319.30	2.50
IPkt003	Bahnstrecke 3 H 1N/W	Gruppe 0		Richtwerte /dB(A)		-99.00	
	Geometrie		Nr	x/m	y/m	z(abs) /m	! z(rel) /m
			Geometrie:	792678.10	5404177.97	319.30	2.50
IPkt004	Bahnstrecke 4 H 1N/W	Gruppe 0		Richtwerte /dB(A)		-99.00	
	Geometrie		Nr	x/m	y/m	z(abs) /m	! z(rel) /m
			Geometrie:	792692.25	5404157.36	319.26	2.50
IPkt005	Bahnstrecke 5 H 1N/W	Gruppe 0		Richtwerte /dB(A)		-99.00	
	Geometrie		Nr	x/m	y/m	z(abs) /m	! z(rel) /m
			Geometrie:	792706.39	5404136.75	319.20	2.50
IPkt006	Bahnstrecke 6 H 1N/W	Gruppe 0		Richtwerte /dB(A)		-99.00	
	Geometrie		Nr	x/m	y/m	z(abs) /m	! z(rel) /m
			Geometrie:	792720.54	5404116.13	319.21	2.50
IPkt007	Bahnstrecke 7 H 1N/W	Gruppe 0		Richtwerte /dB(A)		-99.00	
	Geometrie		Nr	x/m	y/m	z(abs) /m	! z(rel) /m
			Geometrie:	792734.85	5404095.64	319.13	2.50
IPkt008	Bahnstrecke 8 H 1N/W	Gruppe 0		Richtwerte /dB(A)		-99.00	
	Geometrie		Nr	x/m	y/m	z(abs) /m	! z(rel) /m
			Geometrie:	792749.28	5404075.22	319.04	2.50
IPkt009	Bahnstrecke 9 H 1N/W	Gruppe 0		Richtwerte /dB(A)		-99.00	
	Geometrie		Nr	x/m	y/m	z(abs) /m	! z(rel) /m
			Geometrie:	792763.72	5404054.81	318.99	2.50
IPkt010	Bahnstrecke 10 H 1N/W	Gruppe 0		Richtwerte /dB(A)		-99.00	
	Geometrie		Nr	x/m	y/m	z(abs) /m	! z(rel) /m

Firma:	Geoplan GmbH		
Bearbeiter:	Sarah Weiss		
Projekt:	Blendgutachten	SO Photovoltaikpark Lahhof	

Immissionsp	unkt (54)						Variante 0
		Geome	etrie:	792778.15	5404034.40	318.97	2.50
IPkt011	Bahnstrecke 11 H 1N/W	Gruppe 0		Richtwerte /dB(A)		-99.00	
	Geometrie	N	lr	x/m	y/m	z(abs) /m	! z(rel) /m
		Geome	etrie:	792792.58	5404013.98	318.94	2.50
IPkt012	Bahnstrecke 12 H 1N/W	Gruppe 0		Richtwerte /dB(A)		-99.00	
	Geometrie	N	lr	x/m	y/m	z(abs) /m	! z(rel) /m
		Geome		792807.01	5403993.57	318.89	2.50
IPkt013	Bahnstrecke 13 H 1N/W	Gruppe 0		Richtwerte /dB(A)		-99.00	
	Geometrie	N		x/m	y/m	z(abs) /m	! z(rel) /m
IPkt014	Bahnstrecke 14 H 1N/W	Geome		792821.43 Richtwerte /dB(A)	5403973.15	-99.00 318.81	2.50
IFKIU14	Geometrie	Gruppe 0		x/m	y/m	z(abs) /m	! z(rel) /m
	Geometre	Geom		792835.71	5403952.63	318.76	2.50
IPkt015	Bahnstrecke 15 H 1N/W	Gruppe 0		Richtwerte /dB(A)	3403332.03	-99.00	2.50
	Geometrie	N.		x/m	y/m	z(abs) /m	! z(rel) /m
		Geome	etrie:	792850.00	5403932.11	318.74	2.50
IPkt016	Bahnstrecke 16 H 1N/W	Gruppe 0		Richtwerte /dB(A)		-99.00	
	Geometrie	N	ır	x/m	y/m	z(abs) /m	! z(rel) /m
		Geome	etrie:	792864.28	5403911.59	318.64	2.50
IPkt017	Bahnstrecke 17 H 1N/W	Gruppe 0		Richtwerte /dB(A)		-99.00	
	Geometrie	N	lr	x/m	y/m	z(abs) /m	! z(rel) /m
		Geome	etrie:	792878.57	5403891.08	318.69	2.50
IPkt018	Bahnstrecke 18 H 1N/W	Gruppe 0		Richtwerte /dB(A)		-99.00	
	Geometrie	N		x/m	y/m	z(abs) /m	! z(rel) /m
		Geome		792892.85	5403870.56	318.66	2.50
IPkt019	Bahnstrecke 19 H 1N/W	Gruppe 0		Richtwerte /dB(A)		-99.00	
	Geometrie	N		x/m	y/m	z(abs) /m	! z(rel) /m
IDI 1000	D. I	Geome		792907.13	5403850.04	318.67	2.50
IPkt020	Bahnstrecke 20 H 1N/W	Gruppe 0		Richtwerte /dB(A)		-99.00	I = (val) /m
	Geometrie	Geome		792921.42	y/m 5403829.52	z(abs) /m 318.67	! z(rel) /m 2.50
IPkt021	Bahnstrecke 21 H 1S/O	Gruppe 0		Richtwerte /dB(A)	5403629.52	-99.00	2.50
IF KIUZ I	Geometrie	Siuppe 0		x/m	y/m	z(abs) /m	! z(rel) /m
	Comerc	Geom		792935.77	5403809.05	318.65	2.50
IPkt022	Bahnstrecke 22 H 1S/O	Gruppe 0		Richtwerte /dB(A)		-99.00	2.00
-	Geometrie	N		x/m	y/m	z(abs) /m	! z(rel) /m
		Geome	etrie:	792950.18	5403788.62	318.62	2.50
IPkt023	Bahnstrecke 23 H 1S/O	Gruppe 0		Richtwerte /dB(A)		-99.00	
	Geometrie	N	lr	x/m	y/m	z(abs) /m	! z(rel) /m
		Geome	etrie:	792964.59	5403768.20	318.61	2.50
IPkt024	Bahnstrecke 24 H 1S/O	Gruppe 0		Richtwerte /dB(A)		-99.00	
	Geometrie	N	lr	x/m	y/m	z(abs) /m	! z(rel) /m
		Geome		792978.99	5403747.76	318.63	2.50
IPkt025	Bahnstrecke 25 H 1S/O	Gruppe 0		Richtwerte /dB(A)		-99.00	
	Geometrie	N		x/m	y/m	z(abs) /m	! z(rel) /m
IDI 1000	D. I. I. I. 00 II 10/0	Geome	_	792993.14	5403727.15	318.64	2.50
IPkt026	Bahnstrecke 26 H 1S/O Geometrie	Gruppe 0		Richtwerte /dB(A)		-99.00	I = (vo I) /vo
	Geometrie	Geome		793007.24	y/m 5403706.51	z(abs) /m 318.66	! z(rel) /m 2.50
IPkt027	Bahnstrecke 27 H 1S/O	Gruppe 0		Richtwerte /dB(A)	3403700.31	-99.00	2.30
11021	Geometrie	Siuppe 0		x/m	y/m	z(abs) /m	! z(rel) /m
		Geome		793020.92	5403685.58	318.65	2.50
IPkt028	Bahnstrecke 28 H 1S/O	Gruppe 0		Richtwerte /dB(A)		-99.00	
	Geometrie	N		x/m	y/m	z(abs) /m	! z(rel) /m
		Geome	etrie:	793034.80	5403664.45	318.63	2.50
IPkt029	Bahnstrecke 29 H 1S/O	Gruppe 0		Richtwerte /dB(A)		-99.00	
	Geometrie	N	lr	x/m	y/m	z(abs) /m	! z(rel) /m
		Geom	etrie:	793048.28	5403643.73	318.55	2.50
IPkt030	Bahnstrecke 30 H 1S/O	Gruppe 0		Richtwerte /dB(A)		-99.00	
	Geometrie	N		x/m	y/m	z(abs) /m	! z(rel) /m
		Geome		793062.12	5403622.91	318.61	2.50
IPkt031	Bahnstrecke 31 H 1S/O	Gruppe 0		Richtwerte /dB(A)		-99.00	
	Geometrie	N		x/m	y/m	z(abs) /m	! z(rel) /m
IDI/+022	Pohnotrocke 30 1140/0	Geome		793076.27	5403602.30	318.63	2.50
IPkt032	Bahnstrecke 32 H 1S/O	Gruppe 0		Richtwerte /dB(A)		-99.00	1=4 8 :
	Geometrie	N Geome		793090.41	y/m	z(abs) /m	! z(rel) /m
IPkt033	Bahnstrecke 33 H 1S/O	Gruppe 0		793090.41 Richtwerte /dB(A)	5403581.69	-99.00 318.58	2.50
11 NIUJJ	Geometrie	Gruppe 0		x/m	y/m	z(abs) /m	! z(rel) /m
	Geometrie	I N	.	X/III	y/III	2(dD2)/III	: Z((e))/M

Firma:	Geoplan GmbH		
Bearbeiter:	Sarah Weiss		
Projekt:	Blendgutachten	SO Photovoltaikpark Lahhof	

IPkt034	kt (54)						Variante 0
IPkt034			Geometrie:	793104.55	5403561.07	318.46	2.50
	Bahnstrecke 34 H 1S/O	Gruppe 0		Richtwerte /dB(A)		-99.00	
	Geometrie		Nr	x/m	y/m	z(abs) /m	! z(rel) /m
			Geometrie:	793118.70	5403540.46	318.37	2.50
IPkt035	IO 1	Gruppe 0		Richtwerte /dB(A)		-99.00	
	Geometrie		Nr	x/m	y/m	z(abs) /m	! z(rel) /m
			Geometrie:	792540.05	5404101.41	318.42	2.00
IPkt036	IO 1*	Gruppe 0		Richtwerte /dB(A)		-99.00	
	Geometrie		Nr	x/m	y/m	z(abs) /m	! z(rel) /m
			Geometrie:	792540.05	5404101.41	321.42	5.00
IPkt048	Straße Lahhof PKW 2 H 1N/W	Gruppe 0		Richtwerte /dB(A)		-99.00	
	Geometrie		Nr	x/m	y/m	z(abs) /m	! z(rel) /m
			Geometrie:	792644.38	5403583.55	319.78	1.50
IPkt049	Straße Lahhof PKW 3 H 1N/W	Gruppe 0		Richtwerte /dB(A)		-99.00	
	Geometrie	олирро с	Nr	x/m	y/m	z(abs) /m	! z(rel) /m
	Comente		Geometrie:	792668.62	5403577.59	319.53	1.50
IPkt050	Straße Lahhof PKW 4 H 1N/W	Gruppe 0	Ocometre.	Richtwerte /dB(A)	0400011.00	-99.00	1.50
IF KIOSO	Geometrie	Опирре 0	Nr	x/m	y/m		! z(rel) /m
	Geometrie			792691.99		z(abs) /m	
IDI4054	CtraCa Labbat DKW 5 11 1Navd	Cmunna 0	Geometrie:		5403568.97	319.35	1.50
IPkt051	Straße Lahhof PKW 5 H 1Nord	Gruppe 0	N-	Richtwerte /dB(A)		-99.00	1 = (1) (
	Geometrie		Nr	x/m	y/m	z(abs) /m	! z(rel) /m
			Geometrie:	792713.36	5403556.14	319.06	1.50
IPkt052	Straße Lahhof PKW 6 H 1Ost	Gruppe 0	1	Richtwerte /dB(A)		-99.00	
	Geometrie		Nr	x/m	y/m	z(abs) /m	! z(rel) /m
			Geometrie:	792734.19	5403542.32	318.88	1.50
IPkt053	Straße Lahhof PKW 7 H 10st	Gruppe 0		Richtwerte /dB(A)		-99.00	
	Geometrie		Nr	x/m	y/m	z(abs) /m	! z(rel) /m
			Geometrie:	792754.97	5403528.43	318.66	1.50
IPkt054	Straße Lahhof PKW 8 H 10st	Gruppe 0		Richtwerte /dB(A)		-99.00	
	Geometrie		Nr	x/m	y/m	z(abs) /m	! z(rel) /m
			Geometrie:	792775.70	5403514.47	318.39	1.50
IPkt055	Straße Lahhof PKW 9 H 1S/O	Gruppe 0		Richtwerte /dB(A)		-99.00	
	Geometrie		Nr	x/m	y/m	z(abs) /m	! z(rel) /m
			Geometrie:	792792.11	5403495.78	318.21	1.50
IPkt056	Straße Lahhof PKW 10 H 1S/O	Gruppe 0		Richtwerte /dB(A)		-99.00	
	Geometrie		Nr	x/m	y/m	z(abs) /m	! z(rel) /m
			Geometrie:	792801.07	5403472.69	318.09	1.50
IPkt058	Straße Lahhof LKW 2 H 1N/W	Gruppe 0		Richtwerte /dB(A)		-99.00	
	Geometrie		Nr	x/m	y/m	z(abs) /m	! z(rel) /m
			Geometrie:	792644.38	5403583.55	320.78	2.50
IPkt059	Straße Lahhof LKW 3 H 1N/W	Gruppe 0		Richtwerte /dB(A)		-99.00	
	Geometrie	, · ·	Nr	x/m	y/m	z(abs) /m	! z(rel) /m
			Geometrie:	792668.62	5403577.59	320.53	2.50
IPkt060	Straße Lahhof LKW 4 H 1N/W	Gruppe 0		Richtwerte /dB(A)		-99.00	
	Geometrie	111111111111111111111111111111111111111	Nr	x/m	y/m	z(abs) /m	! z(rel) /m
			Geometrie:	792691.99	5403568.97	320.35	2.50
IPkt061	Straße Lahhof LKW 5 H 1Nord	Gruppe 0		Richtwerte /dB(A)		-99.00	
	Geometrie	5.4555	Nr	x/m	y/m	z(abs) /m	! z(rel) /m
			Geometrie:	792713.36	5403556.14	320.06	2.50
IPkt062	Straße Lahhof LKW 6 H 10st	Gruppe 0	Coomens.	Richtwerte /dB(A)	3403330.14	-99.00	2.30
11002	Geometrie	отарро о	Nr	x/m	y/m	z(abs) /m	! z(rel) /m
			Geometrie:	792734.19	5403542.32	319.88	2.50
IPkt063	Straße Lahhof LKW 7 H 10st	Gruppe 0	Geomenie:	Richtwerte /dB(A)	5403542.32	-99.00	2.50
ii Kluuu	Geometrie Transcription Control Contro	Gruppe 0	Nr	` /			=/ral\ /
	<u> </u>	+		x/m	y/m	z(abs) /m	! z(rel) /m
IDI 1004	Stroffo Lobbert IVM 0 1140-4	Crure	Geometrie:	792754.97	5403528.43	319.66	2.50
	Straße Lahhof LKW 8 H 10st	Gruppe 0		Richtwerte /dB(A)		-99.00	1-6.57
IPkt064	Geometrie		Nr	x/m	y/m	z(abs) /m	! z(rel) /m
IPKt064			Geometrie:	792775.70	5403514.47	319.39	2.50
		Gruppe 0		Richtwerte /dB(A)		-99.00	
IPkt065	Straße Lahhof LKW 9 H 1S/O	- ''	1				
	Straße Lahhof LKW 9 H 1S/O Geometrie		Nr	x/m	y/m	z(abs) /m	
IPkt065	Geometrie		Nr Geometrie:	792792.11	5403495.78	319.21	
	Geometrie Straße Lahhof LKW 10 H 1S/O	Gruppe 0	Geometrie:	792792.11 Richtwerte /dB(A)	5403495.78	319.21	! z(rel) /m 2.50
IPkt065	Geometrie			792792.11	5403495.78	319.21	

Solarmodul /FOT	Solarmodul /FOTO (38) Variante (
REFF033	Solarmodul************************************	Gruppe 0	Beugung	normales Hindernis		
			Reflexion / Eingabeart	Absorptionsverlust (dB)		
			Absorptionsverlust (dB) pos./neg. Seite:	1.00	1.00	

Firma:	Geoplan GmbH		
Bearbeiter:	Sarah Weiss		
Projekt:	Blendgutachten	SO Photovoltaikpark Lahhof	

Solarmodul /F				Variante 0
REFF032	Solarmodul************************************	Gruppe 0	Beugung	normales Hindernis
			Reflexion / Eingabeart	Absorptionsverlust (dB)
			Absorptionsverlust (dB) pos./neg. Seite:	1.00 1.00
REFF031	Solarmodul************************************	Gruppe 0	Beugung	normales Hindernis
			Reflexion / Eingabeart	Absorptionsverlust (dB)
DEEE030	Solarmodul************************************	Carrage 0	Absorptionsverlust (dB) pos./neg. Seite:	1.00 1.00
REFF030	Solarmodul	Gruppe 0	Beugung Reflecien / Financet	normales Hindernis
			Reflexion / Eingabeart Absorptionsverlust (dB) pos./neg. Seite:	Absorptionsverlust (dB) 1.00 1.00
REFF029	Solarmodul************************************	Gruppe 0	Beugung	normales Hindernis
TKLI I 025	Colaimodu	Огаррс 0	Reflexion / Eingabeart	Absorptionsverlust (dB)
			Absorptionsverlust (dB) pos./neg. Seite:	1.00 1.00
REFF028	Solarmodul************************************	Gruppe 0	Beugung	normales Hindernis
		Оларро о	Reflexion / Eingabeart	Absorptionsverlust (dB)
			Absorptionsverlust (dB) pos./neg. Seite:	1.00 1.00
REFF027	Solarmodul************************************	Gruppe 0	Beugung	normales Hindernis
-		- 11	Reflexion / Eingabeart	Absorptionsverlust (dB)
			Absorptionsverlust (dB) pos./neg. Seite:	1.00 1.00
REFF025	Solarmodul************************************	Gruppe 0	Beugung	normales Hindernis
			Reflexion / Eingabeart	Absorptionsverlust (dB)
			Absorptionsverlust (dB) pos./neg. Seite:	1.00 1.00
REFF024	Solarmodul************************************	Gruppe 0	Beugung	normales Hindernis
			Reflexion / Eingabeart	Absorptionsverlust (dB)
			Absorptionsverlust (dB) pos./neg. Seite:	1.00 1.00
REFF023	Solarmodul************************************	Gruppe 0	Beugung	normales Hindernis
			Reflexion / Eingabeart	Absorptionsverlust (dB)
			Absorptionsverlust (dB) pos./neg. Seite:	1.00 1.00
REFF022	Solarmodul***************	Gruppe 0	Beugung	normales Hindernis
			Reflexion / Eingabeart	Absorptionsverlust (dB)
			Absorptionsverlust (dB) pos./neg. Seite:	1.00 1.00
REFF021	Solarmodul*************	Gruppe 0	Beugung	normales Hindernis
			Reflexion / Eingabeart	Absorptionsverlust (dB)
			Absorptionsverlust (dB) pos./neg. Seite:	1.00 1.00
REFF020	Solarmodul**************	Gruppe 0	Beugung	normales Hindernis
			Reflexion / Eingabeart	Absorptionsverlust (dB)
DEEE040	0.1	2 2	Absorptionsverlust (dB) pos./neg. Seite:	1.00
REFF019	Solarmodul************************************	Gruppe 0	Beugung	normales Hindernis
			Reflexion / Eingabeart	Absorptionsverlust (dB)
REFF018	Solarmodul************************************	Gruppe 0	Absorptionsverlust (dB) pos./neg. Seite: Beugung	1.00 1.00 normales Hindernis
INELLIA	Solarmodul	Огирре 0	Reflexion / Eingabeart	Absorptionsverlust (dB)
			Absorptionsverlust (dB) pos./neg. Seite:	1.00 1.00
REFF017	Solarmodul***********	Gruppe 0	Beugung	normales Hindernis
TALL TO 17	Colaimedai	Старре о	Reflexion / Eingabeart	Absorptionsverlust (dB)
			Absorptionsverlust (dB) pos./neg. Seite:	1.00 1.00
REFF016	Solarmodul**********	Gruppe 0	Beugung	normales Hindernis
			Reflexion / Eingabeart	Absorptionsverlust (dB)
			Absorptionsverlust (dB) pos./neg. Seite:	1.00 1.00
REFF015	Solarmodul*********	Gruppe 0	Beugung	normales Hindernis
			Reflexion / Eingabeart	Absorptionsverlust (dB)
			Absorptionsverlust (dB) pos./neg. Seite:	1.00 1.00
REFF014	Solarmodul**********	Gruppe 0	Beugung	normales Hindernis
			Reflexion / Eingabeart	Absorptionsverlust (dB)
			Absorptionsverlust (dB) pos./neg. Seite:	1.00 1.00
REFF034	Solarmodul************************************	Gruppe 0	Beugung	normales Hindernis
			Reflexion / Eingabeart	Absorptionsverlust (dB)
			Absorptionsverlust (dB) pos./neg. Seite:	1.00 1.00
REFF040	Solarmodul********	Gruppe 0	Beugung	normales Hindernis
			Reflexion / Eingabeart	Absorptionsverlust (dB)
			Absorptionsverlust (dB) pos./neg. Seite:	1.00 1.00
REFF012	Solarmodul********	Gruppe 0	Beugung	normales Hindernis
			Reflexion / Eingabeart	Absorptionsverlust (dB)
			Absorptionsverlust (dB) pos./neg. Seite:	1.00 1.00
REFF011	Solarmodul********	Gruppe 0	Beugung	normales Hindernis
			Reflexion / Eingabeart	Absorptionsverlust (dB)
			Absorptionsverlust (dB) pos./neg. Seite:	1.00 1.00
REFF010	Solarmodul*******	Gruppe 0	Beugung	normales Hindernis
			Reflexion / Eingabeart	Absorptionsverlust (dB)
DEFERRE	0.1	0 6	Absorptionsverlust (dB) pos./neg. Seite:	1.00 1.00
REFF009	Solarmodul*******	Gruppe 0	Beugung	normales Hindernis

Firma:	Geoplan GmbH		
Bearbeiter:	Sarah Weiss		
Projekt:	Blendgutachten	SO Photovoltaikpark Lahhof	

Solarmodul /	FOTO (38)			Variante	
			Reflexion / Eingabeart	Absorptionsverlust (dB	
			Absorptionsverlust (dB) pos./neg. Seite:	1.00 1.0	
REFF008	Solarmodul******	Gruppe 0	Beugung	normales Hindern	
			Reflexion / Eingabeart	Absorptionsverlust (dB	
			Absorptionsverlust (dB) pos./neg. Seite:	1.00 1.0	
REFF007	Solarmodul*****	Gruppe 0	Beugung	normales Hindern	
			Reflexion / Eingabeart	Absorptionsverlust (dB	
			Absorptionsverlust (dB) pos./neg. Seite:	1.00 1.0	
REFF006	Solarmodul*****	Gruppe 0	Beugung	normales Hindern	
			Reflexion / Eingabeart	Absorptionsverlust (dB	
			Absorptionsverlust (dB) pos./neg. Seite:	1.00 1.0	
REFF005	Solarmodul****	Gruppe 0	Beugung	normales Hindern	
			Reflexion / Eingabeart	Absorptionsverlust (dB	
			Absorptionsverlust (dB) pos./neg. Seite:	1.00 1.0	
REFF035	Solarmodul************************************	Gruppe 0	Beugung	normales Hindern	
			Reflexion / Eingabeart	Absorptionsverlust (dB	
			Absorptionsverlust (dB) pos./neg. Seite:	1.00 1.0	
REFF036	Solarmodul************************************	Gruppe 0	Beugung	normales Hindern	
			Reflexion / Eingabeart	Absorptionsverlust (dB)	
			Absorptionsverlust (dB) pos./neg. Seite:	1.00 1.0	
REFF004	Solarmodul***	Gruppe 0	Beugung	normales Hindernis	
		0.2562	Reflexion / Eingabeart	Absorptionsverlust (dB)	
			Absorptionsverlust (dB) pos./neg. Seite:	1.00 1.0	
REFF037	Solarmodul************************************	Gruppe 0	Beugung	normales Hindern	
			Reflexion / Eingabeart	Absorptionsverlust (dB)	
			Absorptionsverlust (dB) pos./neg. Seite:	1.00 1.0	
REFF038	Solarmodul************************************	Gruppe 0	Beugung	normales Hindern	
			Reflexion / Eingabeart	Absorptionsverlust (dB	
			Absorptionsverlust (dB) pos./neg. Seite:	1.00 1.0	
REFF003	Solarmodul**	Gruppe 0	Beugung	normales Hindern	
			Reflexion / Eingabeart	Absorptionsverlust (dB	
			Absorptionsverlust (dB) pos./neg. Seite:	1.00 1.0	
REFF002	Solarmodul*	Gruppe 0	Beugung	normales Hindern	
112111002		Саррос	Reflexion / Eingabeart	Absorptionsverlust (dB)	
			Absorptionsverlust (dB) pos./neg. Seite:	1.00 1.0	
REFF039	Solarmodul************************************	Gruppe 0	Beugung	normales Hindern	
			Reflexion / Eingabeart	Absorptionsverlust (dB)	
			Absorptionsverlust (dB) pos./neg. Seite:	1.00 1.0	
REFF001	Solarmodul	Gruppe 0	Beugung	normales Hindern	
11111111	Columbudi	Отарро 0	Reflexion / Eingabeart	Absorptionsverlust (dB	
			Absorptionsverlust (dB) pos./neg. Seite:	1.00 1.0	
			Ausorptionsvenust (db) pos./rieg. Selte:	1.00	





IFB re-energy GmbH • Donaustraße 64 • 94526 Metten

GUTACHTEN



BERICHT

Nr. 10.12.3009

AUFTRAGGEBER:

Wirth Regenerative Energien GmbH

BAUMASSNAHME:

SO Photovoltaikpark am Lohgraben

GEGENSTAND:

Reflexions-/Lichtgutachten

DATUM:

Metten, den 07.05.2012

Dieser Bericht umfasst 3 Seiten, 5 Tabellen und 1 Anlage. Die Veröffentlichung, auch auszugsweise, ist ohne unsere Zustimmung nicht zulässig. Die Proben werden ohne besondere Absprache nicht aufbewahrt. Photovoltaik

- Projektentwicklung
- Projektmanagement
- Betriebsführung/Wartung
- Qualitätssicherung
- Verkauf von PV-Anlagen
- Vermessung/Geoinformatik

IFB re-energy GmbH Postfach 12 47 94452 Deggendorf

Firmensitz: Donaustraße 64 94526 Metten

Tel. 0991 341093 Fax 0991 2700385-9 mobil 0160 / 8070504 e-mail: info@ifb-reenergy.de

Geschäftsführer Dipl.-Geol. Eduard Eigenschenk Dipl.-Geol. Dr. Roland Kunz

Registereintrag Amtsgericht Deggendorf HRB 3349

Bankverbindung Deutsche Bank BLZ 750 700 13 Kto.Nr. 9 878 455



Inhaltsverzeichnis:

0	ZUSAMMENFASSUNG - SUMMARY	4
1	VORGANG UND AUFTRAG	4
2	UNTERLAGEN / GRUNDLAGEN	5
3	METHODIK DER ANGEWANDTEN BERECHNUNG	11
4	STANDORTSPEZIFISCHE BERECHNUNGEN	17
5	ERGEBNISSE	19
6	BEURTEILUNGSGRUNDLAGEN	21
7	EINSTUFUNG DER UNTERSUCHUNGSERGEBNISSE - BAHNLINIE	21
8	EINSTUFUNG DER UNTERSCHUNGSERGEBNISSE – WEILER LAHHOF	22
9	SCHLUSSBEMERKUNGEN / ABWÄGUNGEN	23
10	OLITERATURVERZEICHNIS	24



17

22

Aniagen:		
Anlage 1:	Auszug aus den tabellarischen Software-Ergebnissen	
Tabellen:		
		40
	zug Berechnungstabelle für Sonnenstrahlen	16
Tabelle 2: Defi	nition Simulationsberechnung – Bahnlinie	19
Tabelle 3: Defi	nition Simulationsberechnung – Weiler Lahhof	19
Tabelle 4: Erge	ebnisliste Simulationsberechnung - Bahnlinie	20
	ebnisliste Simulationsberechnung – Weiler Lahhof	20
· ·	· ·	
Abbildungen:		
Abbildungen.		
Abbildung 1: D	rigitale Ortskarte, Emissions- und Immissionsbereiche	6
	igitale Flurkarte – Teilfläche "Blatt 1" und Weiler Lahhof	7
Abbildung 3: E	ingabemaske zur Berechnung von Sonnenlichtreflexionen	11
Abbildung 4: S	onnenstandsdiagramm	13
Abbildung 5: K	oordinatensystem des Horizonts	14
Abbildung 6: H		15
	ereinfachte graphische Darstellung der Berechnungsergebnisse von	
CONTRACTOR OF COURT	er Sonnenstrahlung (Abbildung betrifft nicht das Untersuchungsgebiet)	17
TOTIONCION	or continued and the second section and contention	

Abbildung 8: Skizze – Reflexionsbereich an den Zügen



0 ZUSAMMENFASSUNG - SUMMARY

Mit den im vorliegenden Gutachten durchgeführten Berechnungen für das Projekt "SO Photovoltaikpark Am Lohgraben", wurden die durch eine geplante Photovoltaikanlage potentiell verursachten Lichtreflexionen für alle Jahreszeiten und Tageszeiten mittels Spezialsoftware ermittelt und eingestuft. Die gutachterliche Bewertung bzw. Abwägung erfolgte ohne rechtliche Wertung.

Gemäß gutachterlicher Abwägung kann die Photovoltaikanlage mit geringen Blendungen, welche zu vernachlässigen sind oder nicht direkt auf die Immissionsbereiche auftreffen, genehmigt und erstellt werden.

1 VORGANG UND AUFTRAG

Die Wirth Regenerative Energien GmbH plant nord-westlich der Stadt Osterhofen, entlang der Bahnstrecke Passau in Richtung Obertraubling einen Photovoltaikpark für die Stadt Osterhofen. Die Fläche des Parks teilt sich in zwei Teilflächen auf, welche beide nordöstlich der genannten Bahnverbindung liegen. "Blatt 1" mit einer Fläche von ca. 3,6 ha beinhaltet die beiden Flurstücke Fl.-Nr. 2555/2 und Fl-Nr. 2555/1, Gemarkung Aicha a. d. Donau, in Osterhofen. Westlich der Teilfläche "Blatt 1" liegt der Weiler Lohhof, jenseits der Bahnstrecke. "Blatt 2" mit einer Fläche von ca. 2,1 ha beinhaltet das Flurstück Fl.-Nr. 373, Gemarkung Niedermünchsdorf, in Osterhofen. Die Wirth Regenerative Energien GmbH beauftragte die IFB re-energy als Subunternehmer für die Gesamtplanung mit der Erstellung eines Reflexionsgutachtens.

Aufgrund von nicht auszuschließenden störenden Lichtreflexionen sowohl natürlicher als auch antrophogener Art sollen im Vorfeld der Errichtung und des Genehmigungsverfahrens Lichtreflexionen untersucht werden. Als nächst gelegener Immissionsbereich wird die Bahnstrecke Passau in Richtung Obertraubling, süd-westlich des Photovoltaikparks festgelegt. Als weiterer Immissionspunkt werden die baulichen Anlagen des Weilers Lahhof im Bereich der Flur-Nr. 699 Gemarkung Niedermünchsdorf, in Osterhofen definiert.

Bei der geplanten Photovoltaikanlage handelt es sich um eine Freilandanlage mit einer Gesamtleistung von ca. 1938 kWp.

Die Aufständerung erfolgt mittels Schraubfundamenten, auf welche je zwei Module (Modulgrößen 1650x990mm) mit einer Neigung von 28° montiert werden. Es werden Module von Yingli oder Sunowe verwendet. Die Ausrichtung erfolgt direkt nach Süden.



Die hier vorliegende Untersuchung bezieht sich auf die definierten Immissionsbereiche, welche durch eine vor Ort Besichtigung und Überprüfung von Ortho Luftbildkarten ersichtlich sind. Hier wurden in einem Umkreis von ca. 1 km alle relevanten Immissionsbereiche ermittelt. Die Ortschaft Niedermünchshof, welche über 800 m entfernt ist, kann Aufgrund der hohen Entfernung und Lage vernachlässigt werden. Die Biogasanlage welche ca. 300 m nördlich der Teilfläche "Blatt 1" liegt, kann ebenfalls aufgrund der Lage ignoriert werden.

2 UNTERLAGEN / GRUNDLAGEN

Als Kartengrundlage wurden die topographischen Karten, Flurkarten und digitalen Ortskarten aus der kostenpflichtigen Internetanwendung BayernViewer Plus des Bayerischen Landesvermessungsamtes herangezogen. Auch Pläne, Karten und der "vorhabenbezogene Bebauungsplan mit integriertem Grünordnungsplan – SO Photovoltaikpark Am Lohgraben" wurden durch die Firma Wirth Regenerative Energien GmbH als Grundlage zur Verfügung gestellt.

In nachfolgender Abbildung sind Emissions- und Immissionsbereiche ersichtlich. Der Photovoltaikpark mit den beiden Teilflächen sind die Emissionsorte. Der Weiler Lahhof und die Bahnstrecke Bahnkilometer 40,0 bis 41,1 Passau in Richtung Obertraubling wurden als Immissionsbereiche festgelegt.

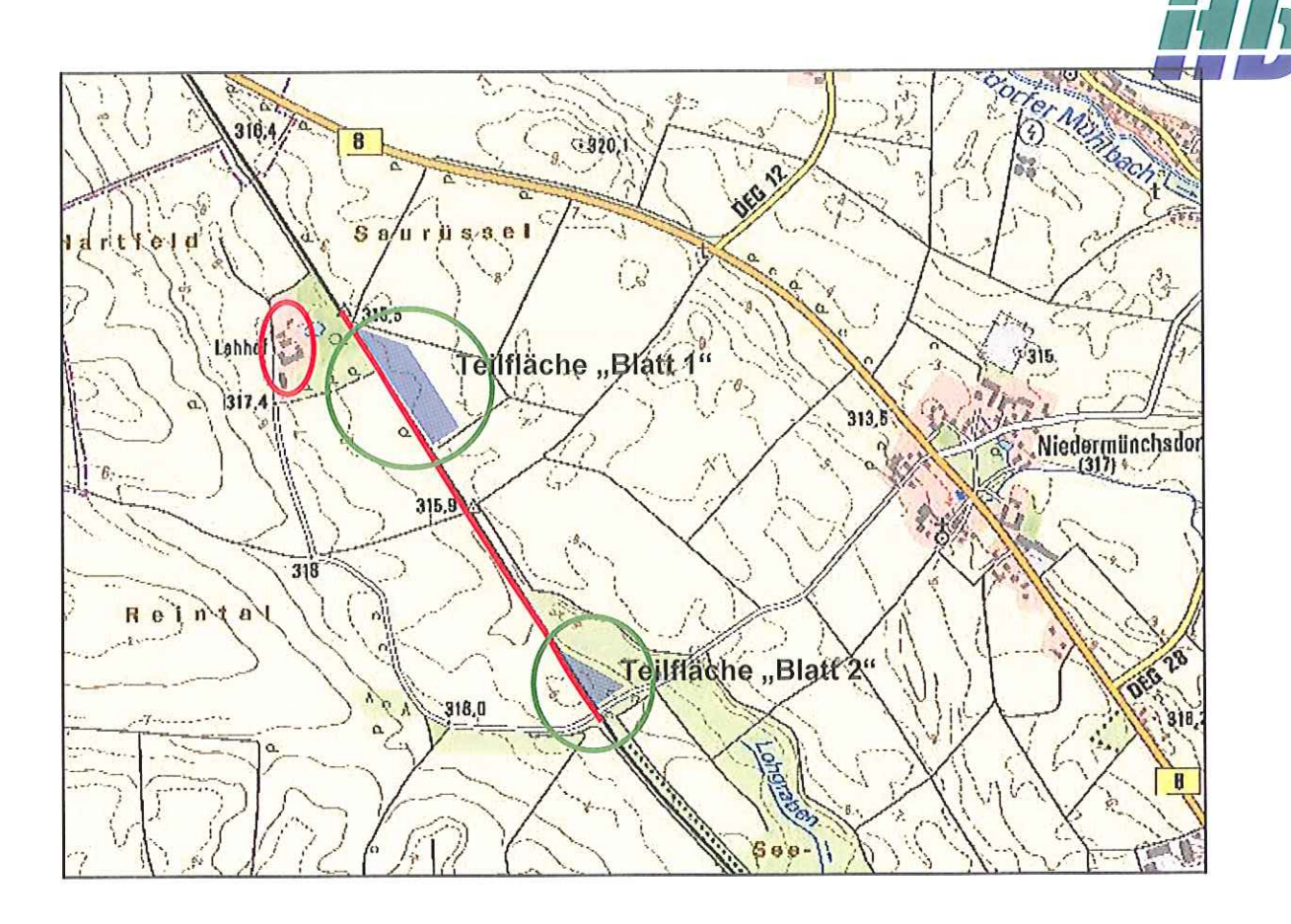


Abbildung 1: Digitale Ortskarte, Emissions- und Immissionsbereiche



Auf der nächsten Abbildung ist der Weiler Lahhof und die Emissionsfläche "Blatt 1" abgebildet.

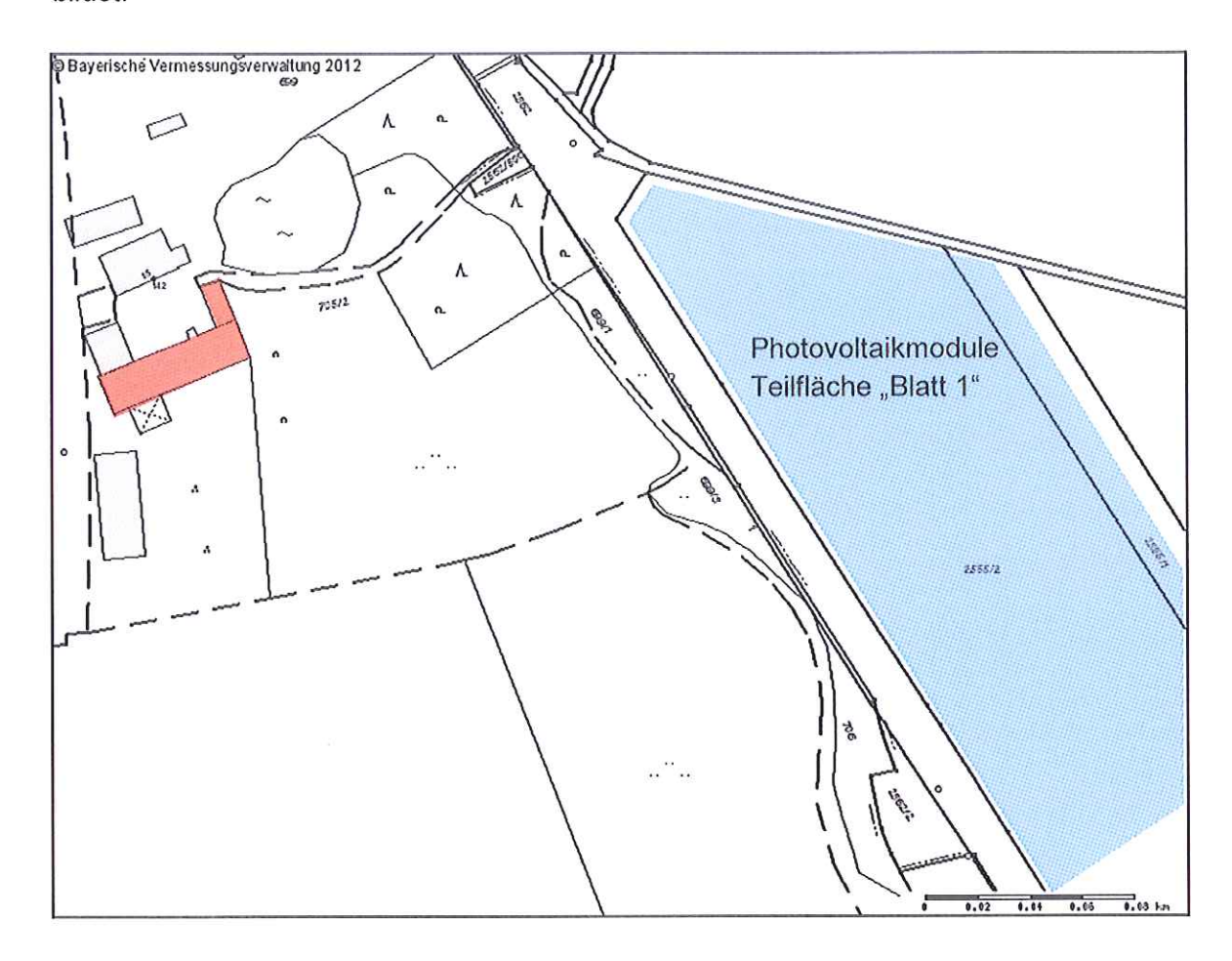
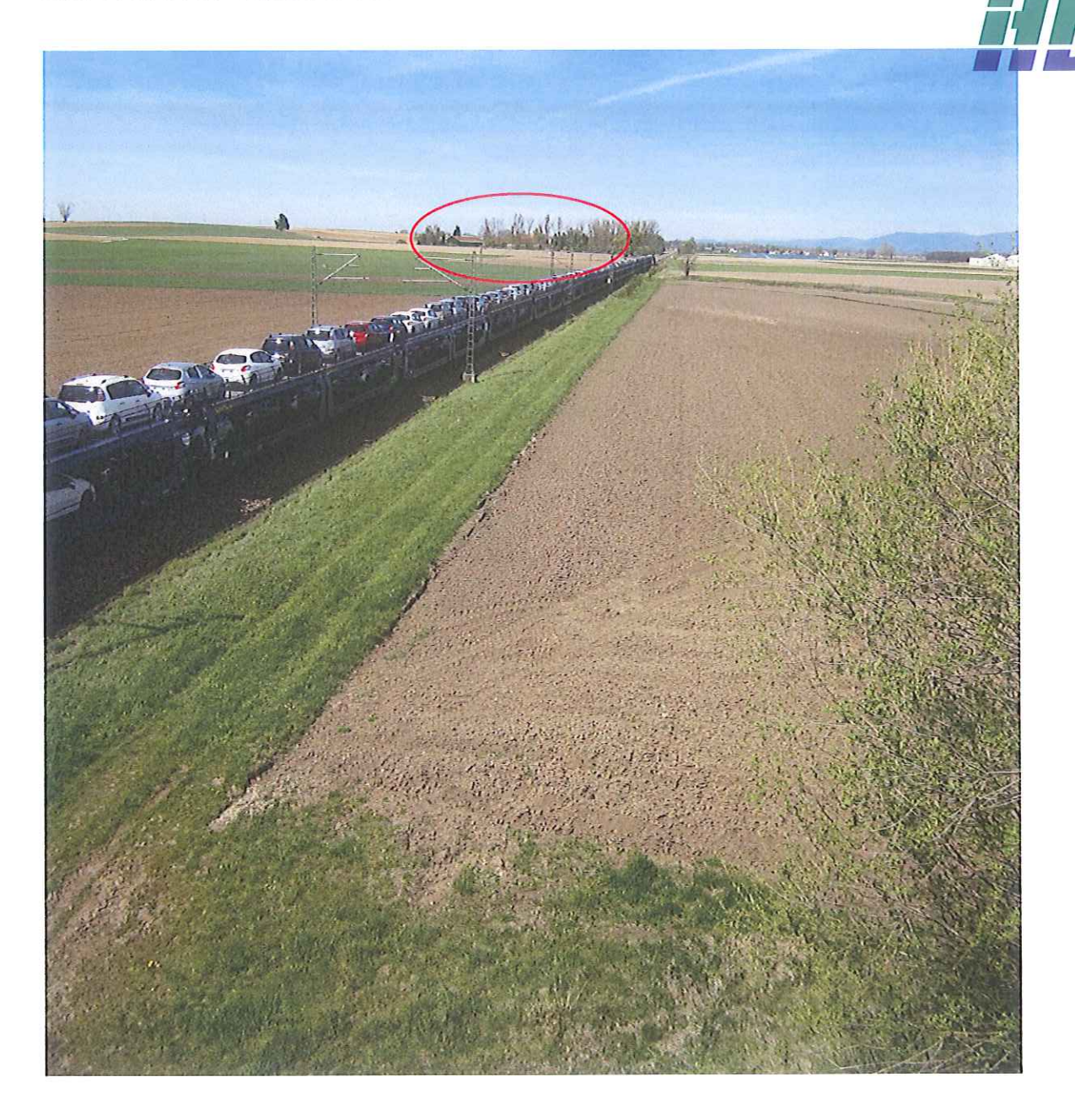


Abbildung 2: Digitale Flurkarte - Teilfläche "Blatt 1" und Weiler Lahhof

Auf der nachfolgenden Fotoaufnahme (Foto 1) ist die momentane Gegebenheit der Teilflächen für den Photovoltaikpark ersichtlich. Auch die betroffene Bahnlinie und der Weiler Lahhof sind klar erkennbar.



Die Teilfläche (Blatt 2) ist auf der Fotoaufnahme (Foto 2) abgebildet. Die Aufnahme wurde in Richtung Nordosten erstellt. Darauf ist auch klar die Biogasanlage an der Bundesstraße 8 ersichtlich.





Foto 2

Auf der nachfolgenden Fotoaufnahme (Foto 3) ist der Weiler Lahhof und ein Ausschnitt der Teilfläche "Blatt 1" abgebildet. Die Aufnahme wurde bei Bahnkilometer 40,8 an der Bahnstrecke Passau in Richtung Obertraubling erstellt.





Foto 3

Auf der letzten Fotoaufnahme (Foto 4) ist die ilfläche "Blatt 1" erkennbar. Diese Fotoaufnahme wurde in Blickrichtung Süden erstellt.



Foto 4



3 METHODIK DER ANGEWANDTEN BERECHNUNG

Zur Berechnung von durch Photovoltaikanlagen verursachte Lichtreflexionen wurde durch IFB re-energy ein eigenes Softwareprogramm entwickelt.

Aufgabe und Fragestellung der Softwareentwicklung war die Erfassung aller möglicher Reflexionen durch natürliche Lichteinstrahlung und hier insbesondere durch Sonneneinstrahlung. Darüber hinaus werden Fremdeinwirkungen wie Verkehr berücksichtigt und bewertet.

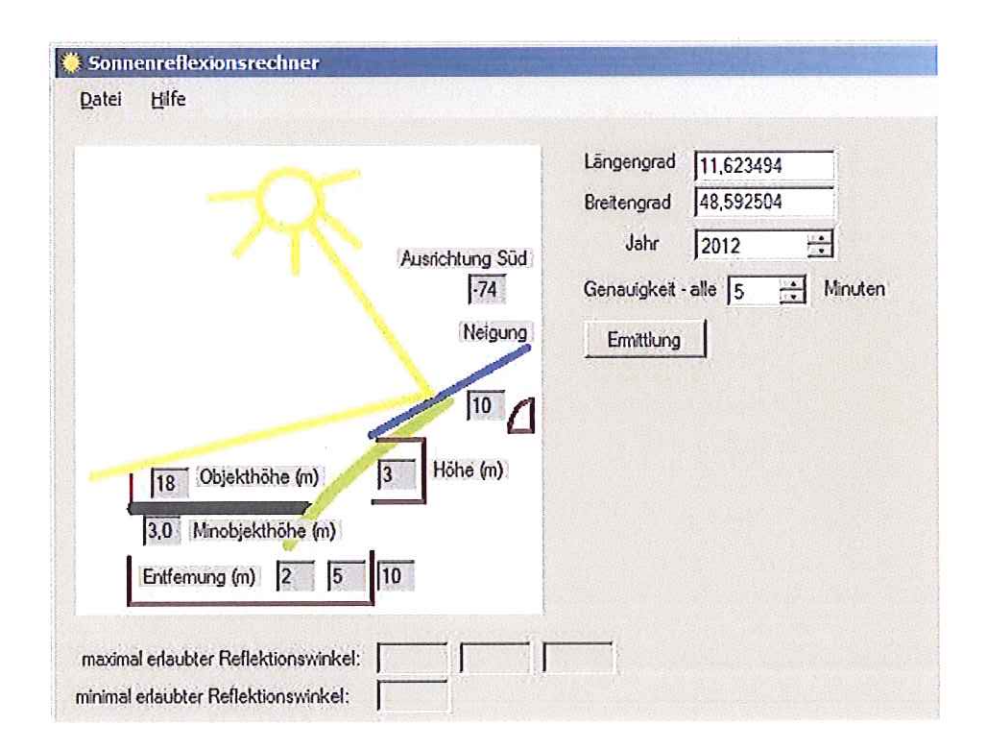


Abbildung 3: Eingabemaske zur Berechnung von Sonnenlichtreflexionen

Durch die Eingabe der geographischen **Länge** und **Breite** wird ein Punkt des Standortes der Photovoltaikanlage festgelegt.

Eine Reflexionsberechnung erfolgt hierbei stets für ein ganzes Jahr, welches auch festgelegt wird.



Die **Grundausrichtung Süd** gibt die Auslenkung der Solarplatte an. Als Ausgangspunkt der Berechnungen wird eine nach Süden ausgerichtete Solarplatte verwendet. Somit geben negative Winkel die Auslenkung zwischen Süden und Osten an und die positiven Winkel die Auslenkung zwischen Süden und Westen. Eine nach Westen ausgerichtete Solarplatte hätte somit eine Auslenkung von –90°. Bei einer nach Osten ausgerichteten Solarplatte beträgt die Auslenkung 90°.

Die **Neigung** wird durch den Höhenwinkel festgelegt. Hier wird der Winkel zwischen Solarplatte und der Horizontalebene angegeben.

Die Höhe (m) gibt die senkrechte Strecke der Solarplattenunterkante zum Stellplatz auf der Horizontalebene an.

Die **Objekthöhe (m)** gibt die maximale Höhe an, auf welcher bei dem Gebäude eine Blendung auftritt. Als Standardbereich wird hier eine Objekthöhe von 0,0 m über Horizontalebene bis max. 15 m (Höhe des Gebäudes) über der Horizontalebene verwendet.

Die Entfernung (m) gibt die Strecke zwischen dem definierten Punkt der Solarplatte und dem Objekt (Gebäude) an. In dem Programm gibt es die Möglichkeit der Eingabe von 3 Entfernungen, welche in einem Programmlauf durchgerechnet werden.

Das Programm wurde in der objektorientierten Programmiersprache C# umgesetzt. Die Programmiersprache C# basiert auf dem von Microsoft entwickelten. NET-Framework. Für alle nachfolgenden Berechnungen wurden eigene Funktionen programmiert. Vorteil dieser Funktionen ist in erster Linie, dass der Quelltext des Programms übersichtlicher und kompakter ist. Des Weiteren erleichtern diese Funktionen die Möglichkeit das Programm zu erweitern. Somit kann das Programm bei Bedarf um beliebige Reflexions-, Sonnenstands- und Lichtberechnung erweitert werden.

Grundlage der Berechnung ist ein Lichtstrahl der Sonne mit einem bestimmten Einfallswinkel, welcher durch die Oberfläche von Photovoltaikanlagen reflektiert werden kann. Es wird berechnet, ob dadurch eine Blendwirkung an einem Wohngebäude festgestellt wird. Die Ermittlung einer möglichen Blendung von Autofahrern auf einer Straße oder Autobahn kann natürlich auch berechnet werden.

Die Streuung oder Abnahme der Intensität des Lichtstrahls z. B. durch Bewölkung und dergleichen wird für die Berechnung im Sinne einer worst-case Betrachtung nicht berücksichtigt. Deshalb wird von einer Totalreflexion ausgegangen.



Die Berechnung des Sonnenstandes wird nach den Formeln in Anlehnung an die Planetentheorie VSOP87 vorgenommen. Mit diesen Formeln erhält man den Sonnenstand eines beliebigen Lichtpunktes auf einer beliebig langen Zeitachse an einem beliebigen Ort auf der Erde. Für die Berechnung und Beurteilung von Blendungen wird für jede Stunde der Sonnenstand in einem ganzen Jahr ermittelt. Somit ergeben sich als Minimum ca. 8760 Sonnenstände für ein Jahr. Diese werden in einer graphischen Darstellung, dem sogenannten Sonnenstandsdiagramm abgebildet.

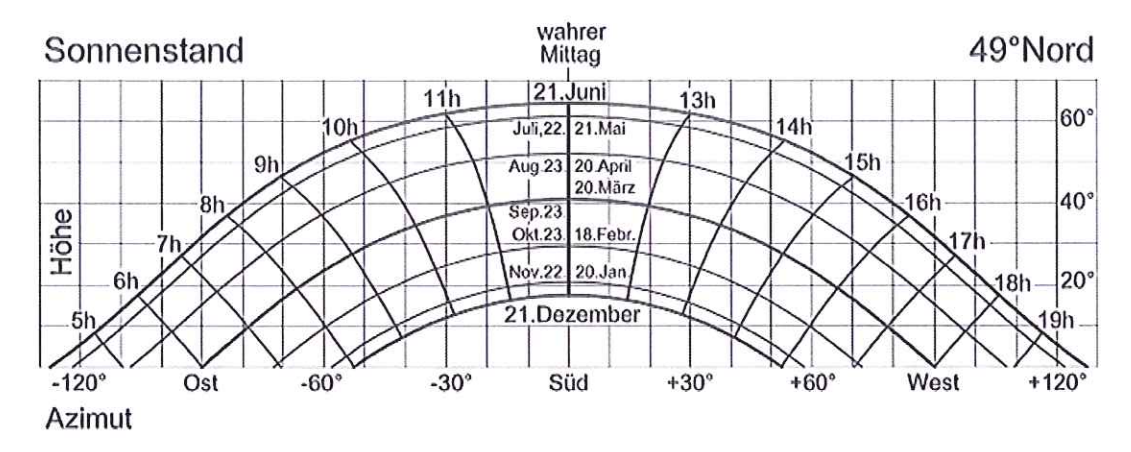


Abbildung 4: Sonnenstandsdiagramm

Der Sonnenstand für einen definierten Zeitpunkt wird durch den Azimut (Himmelsrichtung) und dem Höhenwinkel bestimmt. Positive Winkel geben die Ausrichtung des Azimut von Süden nach Westen an und negative Winkel geben die Ausrichtung von Süden nach Osten an. Der Höhenwinkel bestimmt das Winkelmaß zwischen dem Horizont und der Sonne.



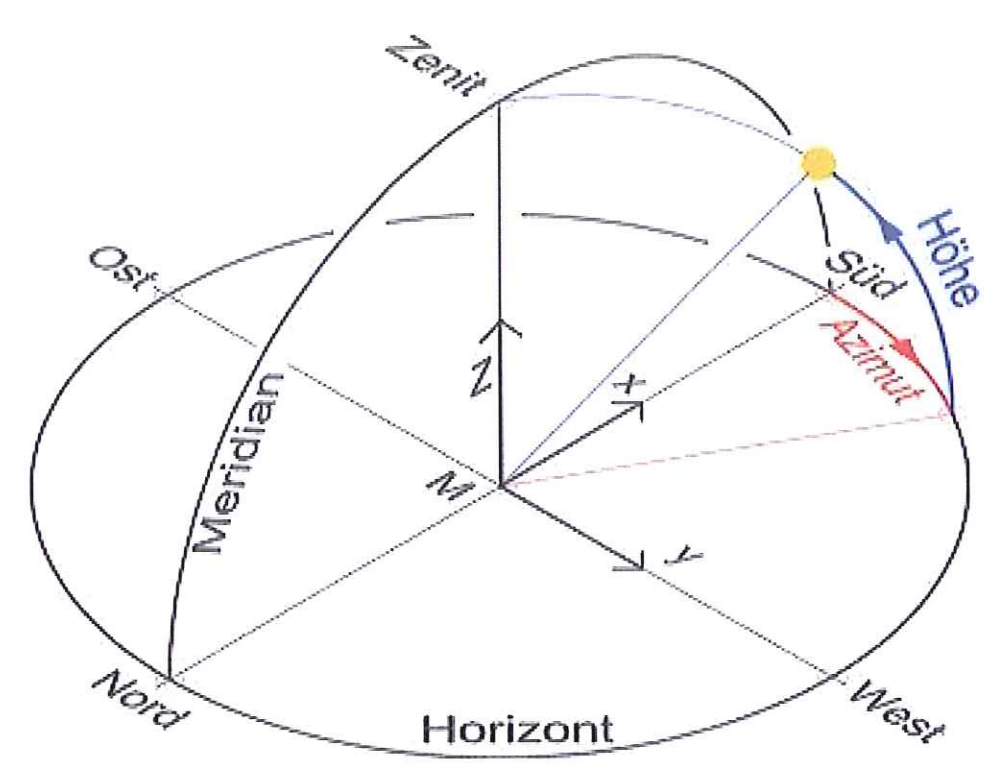


Abbildung 5: Koordinatensystem des Horizonts

Die Berechnung der eigentlichen Reflexion wird mit Hilfe von Vektoren und Kugelkoordinaten berechnet.

Um die Plattenneigung und Auslenkung der Photovoltaikanlage miteinzubeziehen, wird eine mathematische Ebene in die Berechnung ergänzt, welche durch zwei Richtungsvektoren aus diesen Winkeln aufgespannt wird.

Die Berechnung der Sonnenstandsvektoren erfolgt für das ganze Jahr und zu jeder Stunde pro 5 Minuten. Daher wird jeder Wert zeitabhängig ermittelt.

Aus dem Sonnenstand zur Zeit t wird mit Hilfe der Kugelkoordinaten ein Sonnenstandsvektor ermittelt.

Unter der Berücksichtigung der zuvor aufgespannten Ebene wird der Normalenvektor der Ebene ermittelt. Der Winkel zwischen den beiden Vektoren wird mit einem Skalaprodukt errechnet. Somit kann der Normalenvektor orthogonal zum Distanzvektor der Photovoltaikmoduloberfläche gestellt werden.



Schlussendlich berechnet sich aus dem Distanz-, dem Sonnenstands-, und dem angepassten Normalenvektor, der reflektierte Vektor zur Zeit t als Ergebnis.

Ausgehend davon und unter Berücksichtigung der Bauhöhe, der Entfernung und der tatsächlichen Variabilität der Kopfhöhe der Kraftwagenlenker, werden potentiell blendende Austrittsstrahlwinkel vorgegeben. Soweit ein Reflexionstrahl unter diesen definierten Austrittswinkel fällt, so wird er als blendend eingestuft.

Aus allen Einzelergebnissen ergibt sich ein Datensatz \leq 100.000 pro Stunde und \leq 1.000.000 pro 5 Minuten Daten je Durchlauf. Nach Abschluss der Kernrechnung werden die zuvor markierten Daten in eine Tabelle exportiert und zusätzlich wird eine "kml-Datei" erstellt.

Die Blendungstabelle enthält Werte zur festen Definition des Reflexionsstrahls: einen Azimut (Himmelsrichtung) und den zugehörigen Zenitwinkel.

Positive Winkel des Azimut vom Reflexionsstrahl geben die Ausrichtung von Westen nach Norden an und negative Winkel geben die Ausrichtung von Westen nach Süden an.

Der Zenitwinkel ist der Winkel zwischen dem Zenit und dem Reflexionsstrahl.

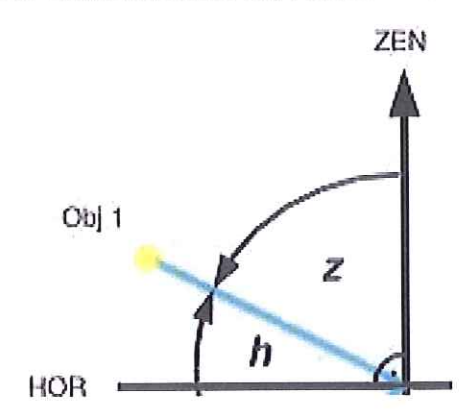


Abbildung 6: Höhenwinkel



Tabelle 1: Auszug Berechnungstabelle für Sonnenstrahlen

Datum	Uhrzeit in UTC	Sonnenstrahl Azimut	Sonnenstrahl Höhenwinkel	Reflexionsstrahl Azimut	Reflexionsstrahl Zenitwinkel
29.03.2011	5:00	-94,483	0,271	-2,406	102,189
30.03.2011	5:00	-94,683	0,614	-2,004	102,198
31.03.2011	5:00	-94,882	0,956	-1,604	102,206
01.04.2011	5:00	-95,081	1,297	-1,205	102,213
02.04.2011	5:00	-95,279	1,636	-0,807	102,220

Bei der "kml-Datei" handelt es sich um ein spezielles Dateiformat welches auf XML-Dateien basiert. In der Datei können Punkte, Linien und viele weitere geometrische Formen gespeichert werden.

Bei der exportierten Datei werden die reflektierten Strahlen in Abhängigkeit der Jahreszeit und der geographischen Lage angezeigt. Die Jahreszeiten werden wie z. B. in der Meteorologie üblich wie folgt eingeteilt

Grün - Frühling (März, April, Mai)

Rot - Sommer (Juni, Juli, August)

Gelb – Herbst (September, Oktober, November)

Blau - Winter (Dezember, Januar, Februar)



Abbildung 7: Vereinfachte graphische Darstellung der Berechnungsergebnisse von reflektierter Sonnenstrahlung (Abbildung betrifft nicht das Untersuchungsgebiet)

4 STANDORTSPEZIFISCHE BERECHNUNGEN

Bei der zu untersuchenden Photovoltaikanlage sind alle Module der Teilfläche "Blatt 1" und "Blatt 2" direkt nach Süden ausgerichtet.

Die Neigung der Photovoltaikmodule beträgt genau 28°.

Die Module werden in einer Höhe von maximal 3,0 m über dem Feld (GOK \approx 0,0 m / ca. 315 m ü. NN) aufgestellt. Die Bahnlinie befindet sich auf einer Höhe von 0 m - 1 m über dem Feld (GOK \approx 0,0 m).

Als kürzeste Strecke von der Photovoltaikanlage (nächster Emissionspunkt) zur Bahnlinie Passau in Richtung Obertraubling wurden ca. 15 m ermittelt. Als maximale Strecke eines Photovoltaikmoduls zur angegebenen Bahnstrecke wurden ca. 130 m ermittelt. Somit wurde der Bereich von 15 m bis 130 m detailliert auf Blendungen untersucht.



Als Objekthöhe wurde der Bereich zwischen 2,50 m und 4,50 m, maximale Höhe über (GOK \approx 0,0 m) für die Züge auf der genannten Bahnstrecke im Immissionsbereich, festgelegt.

Für die Berechnung der Blendwirkung bei dem Weiler Lahhof wurde als kürzeste Strecke 150 m ermittelt. Der Untersuchungsbereich wird bis zu einer Entfernung von maximal 300 m festgelegt.

Als möglicher Blendbereich des Hofs wurde eine Höhe kleiner gleich 15m über dem Feld (GOK \approx 0,0 m) festgelegt. Für diese Berechnung ist ausschließlich der Emissionsort Teilfläche "Blatt 1" relevant.

Zwischen dem Weiler Lahhof und der Bahnstrecke Passau in Richtung Obertraubling befinden sich Gehölzer und Sträucher welche als Abschirmung dienen.

Für die tatsächlichen Berechnungen werden alle Hindernisse ignoriert. Bei der Beurteilung werden die Gehölzer und Sträucher selbstverständlich berücksichtigt.

In den oben ausgeführten Erläuterungen zur kürzesten und weitesten Entfernung zu den Immissionsbereichen wurde die gesamte Fläche der Photovoltaikanlage in das Berechnungssystem aufgenommen.

Bei der Untersuchung werden explizit die Reflexionen der Sonnenstrahlen berücksichtigt. Fremdeinstrahlungen antrophogener Art wurden nicht berücksichtigt.

Blendung durch direkte Sonnenstrahlen (also keine Reflexionsstrahlen) werden nicht bei der Beurteilung berücksichtigt, da diese bereits zum gegenwärtigen Zustand vorhanden sind.

In den beiden nachfolgenden Tabellen wurden Simulationsberechnungen auf den Standort bei Osterhofen für die Bahnlinie und den Weiler Lahhof abgestimmt. Die Entfernung
gibt die Distanz zwischen dem Photovoltaikmodul und dem zu blendendem Objekt an.
Jede Simulationsberechnung erhält eine eindeutige, fortlaufende Nummer. Grundsätzlich
ändert sich der Sonnenstrahl mit jedem beliebig kleinen Zeitintervall. Systematische Untersuchungen haben ergeben, dass für eine Erstberechnung ein Berechnungsintervall von
60 Minuten zweckmäßig ist. Detailuntersuchungen werden mit einem Berechnungsintervall von 5 Minuten durchgeführt.



Tabelle 2: Definition Simulationsberechnung - Bahnlinie

Berechnungsgang	Entfernung	Berechnungsintervall
1	15 m	alle 60 Minuten
2	15 m	alle 5 Minuten
3	50 m	alle 60 Minuten
4	50 m	alle 5 Minuten
5	130 m	alle 60 Minuten
6	130 m	alle 5 Minuten

Tabelle 3: Definition Simulationsberechnung – Weiler Lahhof

Berechnungsgang	Entfernung	Berechnungsintervall
1	150 m	alle 60 Minuten
2	150 m	alle 5 Minuten
3	300 m	alle 60 Minuten
4	300 m	alle 5 Minuten

5 ERGEBNISSE

Im hier vorliegenden Fall wurden sowohl die üblichen Blendwirkungen je Stunde als auch im 5-Minuten-Zyklus betrachtet.

Folgende Ergebnisse wurden für die in Kapitel 4 genannten Berechnungsläufe ermittelt.

In der Ergebnistabelle (Tabelle 4) wird die Anzahl der auftretenden Blendungen für den Immissionsbereich "Bahnlinie" (in alle Richtungen) vermerkt.



Tabelle 4: Ergebnisliste Simulationsberechnung - Bahnlinie

Berechnungs- gang	Zeit- zyklus	Entfernung	Anzahl der Blendungen im Jahr	Kommentar
1	60 Min.	15 m	241	ca. 40 Blendungen im Im- missionsbereich am frühen Morgen
2	5 Min.	15 m	1046	ca. 250 Blendungen im Immissionsbereich am frü- hen Morgen
3	60 Min.	50 m	11	keine Blendungen im Im- missionsbereich
4	5 Min.	50 m	164	78 Blendungen im Immis- sionsbereich am frühen Morgen
5	60 Min.	130 m	0	keine Blendungen
6	5 Min.	130 m	25	15 Blendungen im Immis- sionsbereich am frühen Morgen

In der Ergebnistabelle (Tabelle 5) wird die Anzahl der auftretenden Blendungen für den Immissionsbereich "Weiler Lahhof" (in alle Richtungen) aufgezeigt.

Tabelle 5: Ergebnisliste Simulationsberechnung – Weiler Lahhof

Berechnungs- gang	Zeit- zyklus	Entfernung	Anzahl der Blendungen im Jahr	Kommentar
1	60 Min.	150 m	16	keine Blendungen im Im- missionsbereich
2	5 Min.	150 m	290	ca. 146 Blendungen im Immissionsbereich am frü- hen Morgen
3	60 Min	300 m	5	keine Blendungen im Im- missionsbereich
4	5 Min	300 m	72	ca 39 Blendungen im Im- missionsbereich am frühen Morgen



Berechnungsläufe, welche eine hohe Anzahl von Blendungen aufweisen werden als kritisch eingestuft und werden detaillierter untersucht.

6 BEURTEILUNGSGRUNDLAGEN

In der Fachliteratur sind hinsichtlich der Beurteilung und Blendeinwirkungen noch keine belastungsfähigen Beurteilungskriterien validiert und festgelegt. Als Grundlage werden von verschiedenen Verwaltungsbehörden Kriterien wie Entfernung zwischen Photovoltaikanlage und Immissionspunkt sowie die Dauer der Reflexionen und Einwirkungen genannt.

Als Grundlage zur Beurteilung wurde der "Leitfaden zur Berücksichtigung von Umweltbelangen bei der Planung von PV-Freiflächenanlagen" herangezogen. Aus dem Leitfaden geht hervor, dass die Sonnenstrahlen des Sonnenauf- und Sonnenuntergangs am gefährlichsten sind.

Für die rechnerisch ermittelten Blendungen können im Abwägungsverfahren tatsächlich blendende oder dauerhaft störende Blendungen durch den Sachverständigen erarbeitet werden.

7 EINSTUFUNG DER UNTERSUCHUNGSERGEBNISSE - BAHNLINIE

Für die vorliegenden Berechnungsgänge im Hinblick auf die Bahnlinie wurden die Reflexionsstrahlen für einen Entfernungsbereich zwischen 15 m und 130 m berechnet und für die Beurteilung herangezogen.

Durch die extrem detaillierte Untersuchung der Blendungen im 5-Minuten-Zyklus können die auftretenden Blendungen (Einzelblendungen / Dauerblendungen) für eine bestimmte Tageszeit bestimmt werden. Die ca. 250 auftretenden Einzelblendungen treten überwiegend im März, April, August, September und Oktober auf. Dies jeweils zum Sonnenaufgang am frühen Morgen zwischen 05:25 UTC und 06:15 UTC. Es handelt sich um Blendungen welche jeweils minütlich bis maximal 20 Minuten andauern. Somit ergibt sich daraus eine Anzahl von ca. 63 Tagen an denen es zu einer Blendung kommen könnte. Aufgrund der Jahreszeit ist von mindestens 30 % mit Bewölkung zu rechnen. Die gesamte Blendungsdauer im Jahr beschränkt sich somit auf maximal 21 Stunden.



Unter Berücksichtigung folgender Einfallswinkel (70° bis 98° Azimut von Süden) der Blendstrahlen in Richtung Bahnlinie erfolgt folgende Beurteilung. Wenn ein Zugführer geblendet wird, dann nur Züge in Fahrtrichtung Passau. Als Ergebnis der Reflexionsberechnung im Immissionsbereich der Bahnlinie Passau in Richtung Obertraubling konnten geringe Blendungen festgestellt werden. Da die Gesamtblendungsdauer 30 Stunden im Jahr nicht überschreitet, sind die Blendungen akzeptabel.

Fahrplanbedingte Reduzierungen der Gesamtblendungen sind ebenfalls nicht berücksichtigt.

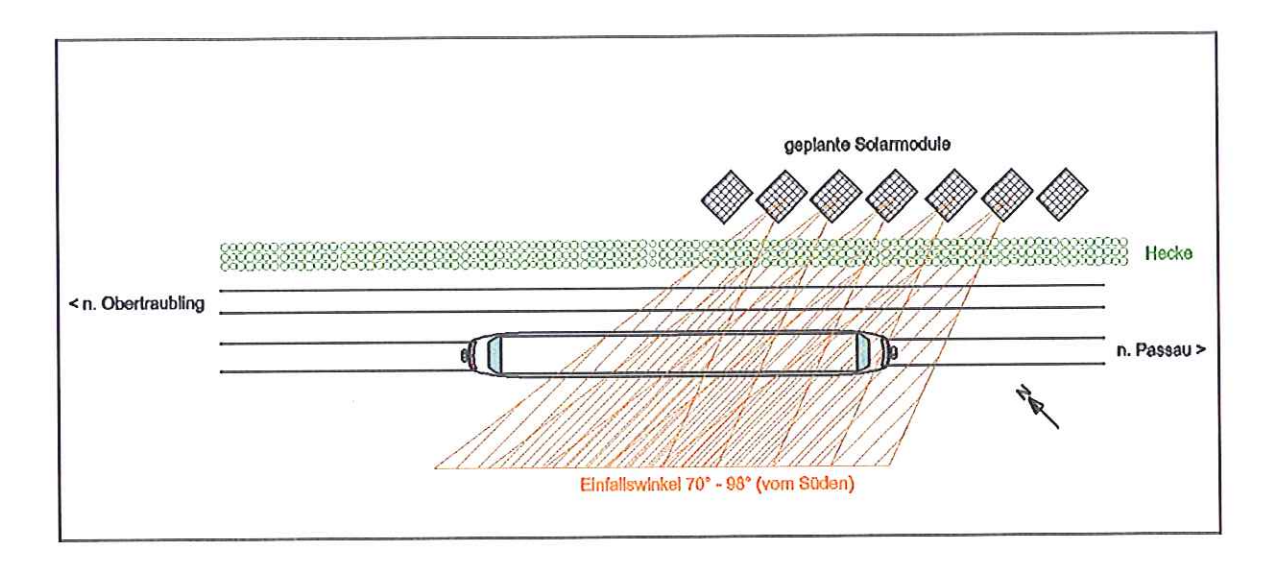


Abbildung 8: Skizze – Reflexionsbereich an den Zügen

8 EINSTUFUNG DER UNTERSCHUNGSERGEBNISSE – WEILER LAHHOF

Für die vorliegenden Berechnungsgänge für den Weiler Lahhof wurden die Reflexionsstrahlen für einen Entfernungsbereich zwischen 150 m und 300 m berechnet und für die Beurteilung herangezogen.



Durch die detaillierte Untersuchung der Blendungen im 5-Minuten-Zyklus können die auftretenden Blendungen (Einzelblendungen / Dauerblendungen) für eine bestimmte Tageszeit bestimmt werden. Die ca. 146 auftretenden Einzelblendungen treten überwiegend im März oder September auf. Dies jeweils zum Sonnenaufgang am frühen Morgen zwischen 05:05 UTC und 05:35 UTC. Es handelt sich um kurzzeitige Blendungen welche jeweils minütlich bis maximal 15 Minuten andauern. Somit ergibt sich daraus eine Anzahl von ca. 50 Tagen an denen es zu einer Blendung kommen könnte.

Unter Berücksichtigung der Gehölzer und Sträucher, welche als Abschirmung dienen, konnten als Ergebnis der Reflexionsberechnung im Immissionsbereich des Hofes keine relevanten Blendungen festgestellt werden.

Auch wenn die Gehölzer und Sträucher nicht vorhanden sind, ist hier unter berücksichtigung nachfolgender Grundlagen keine Maßnahme zu ergreifen.

Gemäß Leitfaden für Photovoltaikanlagen [1] sind fallabhängig Entfernungen über 100 m bzw. Blendungen bis zu 30 Stunden jährlich im Abwägungsverfahren als akzeptabel definiert.

Sowohl bei der täglichen Immissionsdauer von mehr als 30 Minuten bzw. der jährlichen Immissionsdauer von mehr als 30 Stunden werden bei der hier geplanten Photovoltaikanlage im Bereich der Teilfläche "Blatt 1" mit einer maximalen Immissionsdauer von 12,5 Stunden, die vorgeschlagenen Grenzwerte unterschritten.

Das Kriterium der Mindestentfernung von 100 m zwischen Photovoltaikanlage und Immissionsort wird für die hier vorliegende Teilfläche "Blatt 1" ebenfalls unter- bzw. hinsichtlich der realen Entfernungszahl überschritten.

9 SCHLUSSBEMERKUNGEN / ABWÄGUNGEN

Das vorliegende Gutachten wurde auf Basis der zur Verfügung gestellten Unterlagen und Informationen erstellt.

Im Zuge von detaillierten softwaretechnischen Berechnungen zur Ermittlung von Lichtreflexionen allgemein und schädlichen Lichtreflexionen im Besonderen im Zusammenhang mit der geplanten Photovoltaikanlage konnten für beide Teilflächen "Blatt 1" und "Blatt 2" keine direkten Reflexionen im Zusammenhang mit den definierten Immissionsbereichen erfolgen.



Damit ist die Anlage aus lichtreflexionstechnischer Sicht für die bestehende Bebauung als unschädlich oder unrelevant einzustufen. Aus Sachverständigensicht ist die geplante Anlage damit genehmigungsfähig.

Die IFB renergy ist zu verständigen, sofern sich Abweichungen von der derzeitigen Planung ergeben.

RE-FNER Y

Dipl.-Geol. Eduard Eigenschenk

10 LITERATURVERZEICHNIS

Abbildung 1 und 2 entnommen aus Bayern Viewer Plus

Abbildung 3 bis 5 entnommen aus Wikipedia

[1] "Leitfaden zur Berücksichtigung von Umweltbelangen bei der Planung von PV-Freiflächenanlagen" vom Bundesministerium für Umwelt, Naturschutz und Reaktorsicherheit

Datum	Uhrzeit in UTC	Sonnenstrahl Azimut	Sonnenstrahl Höhenwinkel	Reflexionsstrahl Azimut	Reflexionsstrahl Zenitwinkel
25.02.2012	06:05	-75,435	0,210	-8,090	77,847
25.02.2012	16:35	75,662	0,018	-171,881	78,143
26.02.2012	06:05	-75,647	0,518	-7,708	77,845
26.02.2012	16:35	75,932	0,276	-172,254	78,217
27.02.2012	06:00	-76,801	0,025	-7,451	79,074
27.02.2012	06:05	-75,858	0,829	-7,324	77,841
27.02.2012	16:35	76,204	0,534	-172,630	78,294
28.02.2012	06:00	-77,012	0,338	-7,066	79,070
28.02.2012	06:05	-76,068	1,142	-6,938	77,836
28.02.2012	16:35	76,480	0,792	-173,007	78,374
29.02.2012	06:00	-77,223	0,654	-6,679	79,064
29.02.2012	06:05	-76,278	1,459	-6,549	77,829
29.02.2012	16:35	76,759	1,050	-173,385	78,457
29.02.2012	16:40	77,703	0,244	-173,254	79,692
01.03.2012	05:55	-78,378	0,165	-6,423	80,292
01.03.2012	06:00	-77,434	0,973	-6,289	79,056
01.03.2012	06:05	-76,488	1,779	-6,158	77,820
01.03.2012	16:35	77,041	1,309	-173,766	78,543
01.03.2012	16:40	77,986	0,501	-173,633	79,779
02.03.2012	05:55	-78,589	0,486	-6,033	80,284
02.03.2012	06:00	-77,644	1,295	-5,898	79,048
02.03.2012	06:05	-76,697	2,102	-5,765	77,811
02.03.2012	16:30	76,378	2,372	-174,279	77,395
02.03.2012	16:35	77,326	1,567	-174,147	78,632
02.03.2012	16:40	78,272	0,758	-174,012	79,869
03.03.2012	05:55	-78,799	0,810	-5,642	80,275
03.03.2012	06:00	-77,854	1,620	-5,505	79,037
03.03.2012	06:05	-76,906	2,427	-5,370	77,800
03.03.2012	16:30	76,665	2,631	-174,664	77,486
03.03.2012	16:35	77,614	1,825	-174,530	78,723
03.03.2012	16:40	78,560	1,016	-174,393	79,961
03.03.2012	16:45	79,503	0,204	-174,255	81,198
04.03.2012	05:50	-79,953	0,323	-5,388	81,502
04.03.2012	05:55	-79,010	1,136	-5,248	80,264
04.03.2012	06:00	-78,063	1,947	-5,109	79,026
04.03.2012	06:05	-77,114	2,754	-4,973	77,787

Datum	Uhrzeit in UTC	Sonnenstrahl Azimut	Sonnenstrahl Höhenwinkel	Reflexionsstrahl Azimut	Reflexionsstrahl Zenitwinkel
04.03.2012	16:30	76,954	2,890	-175,050	77,579
04.03.2012	16:35	77,904	2,083	-174,914	78,818
04.03.2012	16:40	78,851	1,273	-174,776	80,056
04.03.2012	16:45	79,795	0,460	-174,635	81,294
05.03.2012	05:50	-80,164	0,651	-4,994	81,491
05.03.2012	05:55	-79,219	1,465	-4,852	80,252
05.03.2012	06:00	-78,272	2,276	-4,712	79,013
05.03.2012	06:05	-77,322	3,084	-4,574	77,774
05.03.2012	16:30	77,247	3,148	-175,437	77,675
05.03.2012	16:35	78,197	2,340	-175,299	78,915
05.03.2012	16:40	79,144	1,529	-175,159	80,154
05.03.2012	16:45	80,089	0,716	-175,017	81,392
06.03.2012	05:45	-81,317	0,165	-4,744	82,717
06.03.2012	05:50	-80,374	0,982	-4,599	81,478
06.03.2012	05:55	-79,429	1,796	-4,455	80,239
06.03.2012	06:00	-78,481	2,608	-4,314	78,999
06.03.2012	06:05	-77,530	3,416	-4,174	77,759
06.03.2012	16:30	77,541	3,407	-175,824	77,774
06.03.2012	16:35	78,492	2,598	-175,684	79,014
06.03.2012	16:40	79,440	1,786	-175,543	80,254
06.03.2012	16:45	80,385	0,972	-175,400	81,493
06.03.2012	16:50	81,328	0,155	-175,255	82,732
07.03.2012	05:45	-81,527	0,497	-4,348	82,704
07.03.2012	05:50	-80,584	1,314	-4,202	81,464
07.03.2012	05:55	-79,637	2,129	-4,057	80,224
07.03.2012	06:00	-78,689	2,941	-3,914	78,984
07.03.2012	06:05	-77,737	3,751	-3,772	77,743
07.03.2012	16:30	77,838	3,665	-176,213	77,875
07.03.2012	16:35	78,790	2,855	-176,071	79,116
07.03.2012	16:40	79,738	2,042	-175,928	80,356
07.03.2012	16:45	80,684	1,227	-175,783	81,596
07.03.2012	16:50	81,628	0,410	-175,637	82,836
08.03.2012	05:45	-81,737	0,831	-3,950	82,690
08.03.2012	05:50	-80,793	1,648	-3,803	81,449
08.03.2012	05:55	-79,846	2,464	-3,657	80,209
08.03.2012	06:00	-78,896	3,277	-3,512	78,968

Datum	Uhrzeit in UTC	Sonnenstrahl Azimut	Sonnenstrahl Höhenwinkel	Reflexionsstrahl Azimut	Reflexionsstrahl Zenitwinkel
08.03.2012	06:05	-77,944	4,087	-3,369	77,727
08.03.2012	16:30	78,137	3,923	-176,602	77,979
08.03.2012	16:35	79,089	3,112	-176,458	79,220
08.03.2012	16:40	80,038	2,298	-176,313	80,460
08.03.2012	16:45	80,985	1,483	-176,167	81,701
09.03.2012	05:45	-81,946	1,167	-3,552	82,674
09.03.2012	05:50	-81,001	1,985	-3,403	81,433
09.03.2012	05:55	-80,054	2,801	-3,256	80,192
09.03.2012	06:00	-79,103	3,614	-3,110	78,951
09.03.2012	06:05	-78,150	4,425	-2,964	77,709
09.03.2012	16:30	78,439	4,180	-176,992	78,084
09.03.2012	16:35	79,391	3,368	-176,846	79,326
09.03.2012	16:40	80,340	2,554	-176,700	80,567
09.03.2012	16:45	81,287	1,738	-176,552	81,808
10.03.2012	05:45	-82,155	1,504	-3,152	82,658
10.03.2012	05:50	-81,209	2,323	-3,002	81,416
10.03.2012	05:55	-80,261	3,139	-2,854	80,175
10.03.2012	06:00	-79,310	3,953	-2,706	78,933
10.03.2012	06:05	-78,356	4,764	-2,559	77,691
10.03.2012	16:30	78,742	4,437	-177,382	78,192
10.03.2012	16:35	79,695	3,624	-177,235	79,434
10.03.2012	16:40	80,644	2,810	-177,086	80,676
10.03.2012	16:45	81,592	1,992	-176,937	81,918
11.03.2012	05:45	-82,363	1,843	-2,751	82,640
11.03.2012	05:50	-81,417	2,662	-2,600	81,398
11.03.2012	05:55	-80,468	3,479	-2,450	80,156
11.03.2012	06:00	-79,517	4,293	-2,301	78,914
11.03.2012	06:05	-78,562	5,105	-2,152	77,672
11.03.2012	16:30	79,047	4,693	-177,773	78,302
11.03.2012	16:35	80,000	3,880	-177,623	79,545
11.03.2012	16:40	80,950	3,065	-177,474	80,787
11.03.2012	16:45	81,898	2,247	-177,323	82,029
12.03.2012	05:45	-82,571	2,184	-2,350	82,622
12.03.2012	05:50	-81,624	3,003	-2,197	81,379
12.03.2012	05:55	-80,675	3,820	-2,046	80,137
12.03.2012	06:00	-79,723	4,635	-1,895	78,894

Datum	Uhrzeit in UTC	Sonnenstrahl Azimut	Sonnenstrahl Höhenwinkel	Reflexionsstrahl Azimut	Reflexionsstrahl Zenitwinkel
12.03.2012	06:05	-78,767	5,448	-1,744	77,652
12.03.2012	16:30	79,354	4,949	-178,163	78,414
12.03.2012	16:35	80,307	4,135	-178,012	79,657
12.03.2012	16:40	81,258	3,319	-177,861	80,899
12.03.2012	16:45	82,205	2,501	-177,709	82,142
13.03.2012	05:45	-82,779	2,525	-1,947	82,603
13.03.2012	05:50	-81,831	3,345	-1,794	81,360
13.03.2012	05:55	-80,881	4,163	-1,641	80,117
13.03.2012	06:00	-79,928	4,978	-1,488	78,874
13.03.2012	06:05	-78,972	5,791	-1,336	77,631
13.03.2012	16:30	79,662	5,205	-178,554	78,528
13.03.2012	16:35	80,616	4,390	-178,402	79,771
13.03.2012	16:40	81,567	3,573	-178,249	81,013
13.03.2012	16:45	82,515	2,754	-178,096	82,256
14.03.2012	05:45	-82,986	2,868	-1,544	82,583
14.03.2012	05:50	-82,038	3,688	-1,389	81,340
14.03.2012	05:55	-81,087	4,506	-1,235	80,097
14.03.2012	06:00	-80,134	5,322	-1,081	78,854
14.03.2012	06:05	-79,177	6,136	-0,926	77,611
14.03.2012	16:25	79,015	6,273	-179,100	77,400
14.03.2012	16:30	79,972	5,460	-178,945	78,643
14.03.2012	16:35	80,926	4,645	-178,791	79,886
14.03.2012	16:40	81,877	3,827	-178,637	81,129
14.03.2012	16:45	82,825	3,007	-178,482	82,372
15.03.2012	05:45	-83,192	3,212	-1,140	82,562
15.03.2012	05:50	-82,244	4,032	-0,984	81,319
15.03.2012	05:55	-81,293	4,851	-0,829	80,076
15.03.2012	06:00	-80,338	5,667	-0,673	78,833
15.03.2012	06:05	-79,381	6,482	-0,516	77,589
15.03.2012	16:25	79,326	6,529	-179,493	77,517
15.03.2012	16:30	80,283	5,715	-179,336	78,760
15.03.2012	16:35	81,237	4,898	-179,180	80,004
15.03.2012	16:40	82,189	4,080	-179,025	81,247
15.03.2012	16:45	83,137	3,260	-178,869	82,490
16.03.2012	05:45	-83,398	3,557	-0,736	82,541
16.03.2012	05:50	-82,449	4,377	-0,579	81,298

Datum	Uhrzeit in UTC	Sonnenstrahl Azimut	Sonnenstrahl Höhenwinkel	Reflexionsstrahl Azimut	Reflexionsstrahl Zenitwinkel
16.03.2012	05:55	-81,498	5,196	-0,422	80,054
16.03.2012	06:00	-80,543	6,013	-0,264	78,811
16.03.2012	06:05	-79,585	6,828	-0,106	77,568
16.03.2012	16:25	79,638	6,783	-179,885	77,636
16.03.2012	16:30	80,596	5,969	-179,727	78,879
16.03.2012	16:35	81,550	5,152	-179,570	80,122
16.03.2012	16:40	82,501	4,333	-179,412	81,366
16.03.2012	16:45	83,450	3,512	-179,255	82,609
17.03.2012	05:45	-83,604	3,902	-0,331	82,519
17.03.2012	05:50	-82,655	4,723	-0,173	81,276
17.03.2012	05:55	-81,703	5,543	-0,014	80,032
17.03.2012	06:00	-80,748	6,360	0,145	78,789
17.03.2012	06:05	-79,789	7,175	0,305	77,546
17.03.2012	16:25	79,951	7,037	179,722	77,756
17.03.2012	16:30	80,909	6,222	179,882	78,999
17.03.2012	16:35	81,864	5,404	-179,959	80,243
17.03.2012	16:40	82,815	4,585	-179,800	81,486
17.03.2012	16:45	83,764	3,763	-179,642	82,729
18.03.2012	05:45	-83,809	4,248	0,073	82,497
18.03.2012	05:50	-82,859	5,069	0,233	81,254
18.03.2012	05:55	-81,907	5,889	0,393	80,010
18.03.2012	06:00	-80,952	6,707	0,554	78,767
18.03.2012	06:05	-79,993	7,523	0,716	77,524
18.03.2012	16:25	80,266	7,291	179,330	77,877
18.03.2012	16:30	81,224	6,475	179,492	79,121
18.03.2012	16:35	82,178	5,656	179,653	80,364
18.03.2012	16:40	83,130	4,836	179,812	81,607
18.03.2012	16:45	84,079	4,014	179,972	82,850
19.03.2012	05:45	-84,014	4,594	0,478	82,474
19.03.2012	05:50	-83,064	5,416	0,639	81,231
19.03.2012	05:55	-82,111	6,236	0,801	79,988
19.03.2012	06:00	-81,155	7,054	0,963	78,745
19.03.2012	06:05	-80,196	7,871	1,127	77,502
19.03.2012	16:25	80,581	7,544	178,939	78,000
19.03.2012	16:30	81,539	6,727	179,102	79,243
19.03.2012	16:35	82,494	5,908	179,264	80,486

Datum	Uhrzeit in UTC	Sonnenstrahl Azimut	Sonnenstrahl Höhenwinkel	Reflexionsstrahl Azimut	Reflexionsstrahl Zenitwinkel
19.03.2012	16:40	83,445	5,087	179,425	81,730
20.03.2012	05:45	-84,219	4,941	0,883	82,452
20.03.2012	05:50	-83,268	5,763	1,045	81,209
20.03.2012	05:55	-82,315	6,583	1,208	79,966
20.03.2012	06:00	-81,359	7,402	1,373	78,723
20.03.2012	06:05	-80,399	8,219	1,538	77,480
20.03.2012	16:25	80,897	7,796	178,548	78,124
20.03.2012	16:30	81,855	6,978	178,713	79,367
20.03.2012	16:35	82,810	6,158	178,876	80,610
20.03.2012	16:40	83,761	5,337	179,039	81,853
21.03.2012	05:45	-84,423	5,288	1,288	82,429
21.03.2012	05:50	-83,472	6,110	1,452	81,186
21.03.2012	05:55	-82,519	6,931	1,616	79,943
21.03.2012	06:00	-81,562	7,750	1,782	78,700
21.03.2012	06:05	-80,602	8,567	1,950	77,458
21.03.2012	16:25	81,214	8,047	178,157	78,249
21.03.2012	16:30	82,172	7,229	178,324	79,492
21.03.2012	16:35	83,127	6,408	178,489	80,734
21.03.2012	16:40	84,078	5,586	178,653	81,977
22.03.2012	05:45	-84,627	5,634	1,693	82,406
22.03.2012	05:50	-83,676	6,457	1,858	81,163
22.03.2012	05:55	-82,723	7,278	2,024	79,920
22.03.2012	06:00	-81,766	8,098	2,191	78,678
22.03.2012	06:05	-80,805	8,915	2,361	77,436
22.03.2012	16:25	81,531	8,297	177,768	78,375
22.03.2012	16:30	82,489	7,478	177,936	79,617
22.03.2012	16:35	83,444	6,658	178,102	80,860
22.03.2012	16:40	84,395	5,835	178,267	82,102
23.03.2012	05:45	-84,831	5,981	2,097	82,383
23.03.2012	05:50	-83,880	6,804	2,263	81,140
23.03.2012	05:55	-82,926	7,625	2,431	79,898
23.03.2012	06:00	-81,969	8,445	2,600	78,656
23.03.2012	06:05	-81,008	9,263	2,771	77,414
23.03.2012	16:25	81,849	8,547	177,379	78,501
23.03.2012	16:30	82,807	7,728	177,548	79,743
23.03.2012	16:35	83,761	6,906	177,716	80,986

Datum	Uhrzeit in UTC	Sonnenstrahl Azimut	Sonnenstrahl Höhenwinkel	Reflexionsstrahl Azimut	Reflexionsstrahl Zenitwinkel
23.03.2012	16:40	84,712	6,083	177,882	82,228
24.03.2012	05:45	-85,034	6,327	2,501	82,360
24.03.2012	05:50	-84,083	7,150	2,668	81,118
24.03.2012	05:55	-83,129	7,972	2,837	79,876
24.03.2012	06:00	-82,171	8,793	3,008	78,634
24.03.2012	06:05	-81,210	9,611	3,182	77,393
24.03.2012	16:20	81,206	9,615	176,818	77,387
24.03.2012	16:25	82,167	8,796	176,991	78,629
24.03.2012	16:30	83,125	7,976	177,162	79,870
24.03.2012	16:35	84,079	7,154	177,331	81,112
24.03.2012	16:40	85,030	6,331	177,498	82,354
25.03.2012	05:45	-85,237	6,673	2,905	82,337
25.03.2012	05:50	-84,286	7,497	3,073	81,095
25.03.2012	05:55	-83,332	8,319	3,244	79,854
25.03.2012	06:00	-82,374	9,139	3,416	78,613
25.03.2012	06:05	-81,413	9,958	3,591	77,372
25.03.2012	16:20	81,524	9,863	176,429	77,516
25.03.2012	16:25	82,485	9,044	176,604	78,757
25.03.2012	16:30	83,443	8,224	176,776	79,998
25.03.2012	16:35	84,397	7,401	176,946	81,239
25.03.2012	16:40	85,348	6,577	177,115	82,481
26.03.2012	05:45	-85,440	7,018	3,308	82,314
26.03.2012	05:50	-84,489	7,842	3,477	81,073
26.03.2012	05:55	-83,535	8,665	3,649	79,832
26.03.2012	06:00	-82,577	9,486	3,824	78,592
26.03.2012	06:05	-81,615	10,305	4,001	77,351
26.03.2012	16:20	81,843	10,111	176,041	77,645
26.03.2012	16:25	82,804	9,292	176,218	78,885
26.03.2012	16:30	83,761	8,470	176,392	80,126
26.03.2012	16:35	84,714	7,647	176,563	81,367
26.03.2012	16:40	85,665	6,823	176,732	82,608
27.03.2012	05:45	-85,643	7,363	3,710	82,292
27.03.2012	05:50	-84,692	8,187	3,881	81,051
27.03.2012	05:55	-83,737	9,010	4,054	79,811
27.03.2012	06:00	-82,779	9,831	4,230	78,571
27.03.2012	06:05	-81,817	10,651	4,409	77,331

Datum	Uhrzeit in UTC	Sonnenstrahl Azimut	Sonnenstrahl Höhenwinkel	Reflexionsstrahl Azimut	Reflexionsstrahl Zenitwinkel
27.03.2012	16:20	82,161	10,358	175,655	77,774
27.03.2012	16:25	83,122	9,538	175,833	79,014
27.03.2012	16:30	84,079	8,716	176,008	80,254
27.03.2012	16:35	85,032	7,893	176,181	81,494
27.03.2012	16:40	85,982	7,068	176,351	82,735
28.03.2012	05:45	-85,846	7,707	4,111	82,270
28.03.2012	05:50	-84,894	8,531	4,283	81,030
28.03.2012	05:55	-83,940	9,354	4,458	79,790
28.03.2012	06:00	-82,982	10,176	4,636	78,551
28.03.2012	16:20	82,480	10,604	175,270	77,904
28.03.2012	16:25	83,440	9,784	175,449	79,143
28.03.2012	16:30	84,396	8,961	175,626	80,382
28.03.2012	16:35	85,349	8,137	175,800	81,622
28.03.2012	16:40	86,299	7,313	175,971	82,862
29.03.2012	05:45	-86,048	8,050	4,511	82,248
29.03.2012	05:50	-85,097	8,874	4,685	81,009
29.03.2012	05:55	-84,142	9,698	4,861	79,770
29.03.2012	06:00	-83,184	10,520	5,041	78,531
29.03.2012	16:20	82,798	10,849	174,886	78,034
29.03.2012	16:25	83,757	10,028	175,067	79,272
29.03.2012	16:30	84,713	9,205	175,245	80,511
29.03.2012	16:35	85,666	8,381	175,420	81,750
30.03.2012	05:45	-86,250	8,391	4,910	82,227
30.03.2012	05:50	-85,299	9,216	5,085	80,989
30.03.2012	05:55	-84,344	10,040	5,263	79,750
30.03.2012	06:00	-83,386	10,862	5,444	78,513
30.03.2012	16:20	83,115	11,094	174,504	78,164
30.03.2012	16:25	84,075	10,272	174,686	79,401
30.03.2012	16:30	85,030	9,448	174,865	80,639
30.03.2012	16:35	85,982	8,624	175,041	81,878
31.03.2012	05:45	-86,452	8,732	5,308	82,207
31.03.2012	05:50	-85,501	9,557	5,484	80,969
31.03.2012	05:55	-84,547	10,381	5,664	79,732
31.03.2012	06:00	-83,588	11,203	5,847	78,495
31.03.2012	16:20	83,432	11,337	174,123	78,294
31.03.2012	16:25	84,391	10,515	174,307	79,530

Datum	Uhrzeit in UTC	Sonnenstrahl Azimut	Sonnenstrahl Höhenwinkel	Reflexionsstrahl Azimut	Reflexionsstrahl Zenitwinkel
31.03.2012	16:30	85,346	9,691	174,487	80,768
31.03.2012	16:35	86,298	8,866	174,664	82,006
01.04.2012	05:45	-86,654	9,071	5,704	82,187
01.04.2012	05:50	-85,703	9,896	5,882	80,950
01.04.2012	05:55	-84,749	10,720	6,063	79,713
01.04.2012	06:00	-83,791	11,543	6,248	78,477
01.04.2012	16:20	83,749	11,579	173,744	78,423
01.04.2012	16:25	84,707	10,756	173,929	79,659
01.04.2012	16:30	85,661	9,932	174,110	80,896
01.04.2012	16:35	86,613	9,107	174,288	82,133
02.04.2012	05:45	-86,856	9,409	6,100	82,168
02.04.2012	05:50	-85,905	10,234	6,279	80,932
02.04.2012	05:55	-84,951	11,058	6,461	79,696
02.04.2012	06:00	-83,993	11,881	6,647	78,461
02.04.2012	16:20	84,064	11,820	173,367	78,553
02.04.2012	16:25	85,022	10,997	173,553	79,788
02.04.2012	16:30	85,976	10,172	173,735	81,024
02.04.2012	16:35	86,927	9,347	173,914	82,260
03.04.2012	05:45	-87,058	9,744	6,493	82,149
03.04.2012	05:50	-86,107	10,570	6,674	80,914
03.04.2012	05:55	-85,153	11,395	6,858	79,680
03.04.2012	06:00	-84,195	12,218	7,046	78,446
03.04.2012	16:15	83,417	12,883	172,799	77,448
03.04.2012	16:20	84,379	12,060	172,991	78,682
03.04.2012	16:25	85,336	11,237	173,178	79,916
03.04.2012	16:30	86,289	10,412	173,361	81,151
03.04.2012	16:35	87,239	9,586	173,541	82,386
04.04.2012	05:45	-87,259	10,079	6,885	82,132
04.04.2012	05:50	-86,309	10,904	7,067	80,898
04.04.2012	05:55	-85,355	11,729	7,252	79,664
04.04.2012	06:00	-84,397	12,553	7,442	78,431
04.04.2012	16:15	83,732	13,122	172,424	77,578
04.04.2012	16:20	84,692	12,299	172,617	78,811
04.04.2012	16:25	85,649	11,475	172,805	80,044
04.04.2012	16:30	86,602	10,650	172,989	81,278
04.04.2012	16:35	87,551	9,824	173,170	82,512

Datum	Uhrzeit in UTC	Sonnenstrahl Azimut	Sonnenstrahl Höhenwinkel	Reflexionsstrahl Azimut	Reflexionsstrahl Zenitwinkel
05.04.2012	05:45	-87,461	10,411	7,276	82,115
05.04.2012	05:50	-86,510	11,237	7,458	80,882
05.04.2012	05:55	-85,557	12,062	7,645	79,650
05.04.2012	06:00	-84,599	12,886	7,837	78,418
05.04.2012	16:15	84,045	13,361	172,051	77,707
05.04.2012	16:20	85,005	12,537	172,245	78,939
05.04.2012	16:25	85,961	11,713	172,434	80,171
05.04.2012	16:30	86,913	10,888	172,619	81,404
05.04.2012	16:35	87,862	10,061	172,801	82,637
06.04.2012	05:45	-87,662	10,741	7,664	82,100
06.04.2012	05:50	-86,712	11,567	7,848	80,868
06.04.2012	05:55	-85,759	12,393	8,037	79,637
06.04.2012	06:00	-84,801	13,217	8,230	78,406
06.04.2012	16:15	84,357	13,598	171,679	77,836
06.04.2012	16:20	85,316	12,774	171,875	79,066
06.04.2012	16:25	86,271	11,950	172,065	80,298
06.04.2012	16:30	87,222	11,124	172,251	81,529
06.04.2012	16:35	88,171	10,298	172,433	82,761
07.04.2012	05:45	-87,863	11,069	8,050	82,085
07.04.2012	05:50	-86,914	11,896	8,236	80,854
07.04.2012	05:55	-85,961	12,721	8,426	79,624
07.04.2012	06:00	-85,004	13,545	8,621	78,395
07.04.2012	16:15	84,667	13,834	171,310	77,964
07.04.2012	16:20	85,626	13,010	171,506	79,193
07.04.2012	16:25	86,580	12,185	171,698	80,423
07.04.2012	16:30	87,531	11,359	171,885	81,654
08.04.2012	05:45	-88,064	11,395	8,435	82,072
08.04.2012	05:50	-87,115	12,222	8,622	80,842
08.04.2012	05:55	-86,163	13,047	8,813	79,613
08.04.2012	06:00	-85,206	13,872	9,009	78,385
08.04.2012	16:15	84,976	14,069	170,943	78,091
08.04.2012	16:20	85,934	13,245	171,140	79,319
08.04.2012	16:25	86,887	12,419	171,333	80,548
08.04.2012	16:30	87,837	11,593	171,521	81,777
09.04.2012	05:45	-88,265	11,719	8,817	82,059
09.04.2012	05:50	-87,317	12,545	9,005	80,831

Datum	Uhrzeit in UTC	Sonnenstrahl Azimut	Sonnenstrahl Höhenwinkel	Reflexionsstrahl Azimut	Reflexionsstrahl Zenitwinkel
09.04.2012	05:55	-86,364	13,371	9,198	79,603
09.04.2012	06:00	-85,408	14,196	9,396	78,376
09.04.2012	16:15	85,283	14,303	170,578	78,217
09.04.2012	16:20	86,240	13,478	170,777	79,444
09.04.2012	16:25	87,193	12,653	170,970	80,671
09.04.2012	16:30	88,142	11,826	171,159	81,900
10.04.2012	05:45	-88,467	12,040	9,197	82,048
10.04.2012	05:50	-87,518	12,866	9,386	80,821
10.04.2012	05:55	-86,566	13,692	9,581	79,595
10.04.2012	06:00	-85,610	14,517	9,780	78,369
10.04.2012	16:15	85,589	14,536	170,215	78,342
10.04.2012	16:20	86,545	13,711	170,415	79,568
10.04.2012	16:25	87,497	12,885	170,610	80,794
10.04.2012	16:30	88,445	12,058	170,799	82,021
11.04.2012	05:45	-88,667	12,358	9,574	82,038
11.04.2012	05:50	-87,720	13,185	9,765	80,813
11.04.2012	05:55	-86,768	14,011	9,961	79,588
11.04.2012	06:00	-85,813	14,836	10,162	78,364
11.04.2012	16:15	85,893	14,767	169,855	78,466
11.04.2012	16:20	86,848	13,942	170,056	79,690
11.04.2012	16:25	87,799	13,116	170,251	80,915
11.04.2012	16:30	88,746	12,289	170,441	82,141
12.04.2012	05:45	-88,868	12,673	9,949	82,030
12.04.2012	05:50	-87,921	13,500	10,141	80,806
12.04.2012	05:55	-86,970	14,326	10,338	79,582
12.04.2012	06:00	-86,015	15,152	10,541	78,359
12.04.2012	16:10	85,235	15,822	169,289	77,366
12.04.2012	16:15	86,194	14,997	169,497	78,588
12.04.2012	16:20	87,149	14,172	169,699	79,811
12.04.2012	16:25	88,099	13,345	169,895	81,035
12.04.2012	16:30	89,046	12,518	170,086	82,259
13.04.2012	05:45	-89,069	12,986	10,322	82,022
13.04.2012	05:50	-88,122	13,813	10,515	80,800
13.04.2012	05:55	-87,172	14,639	10,713	79,578
13.04.2012	06:00	-86,217	15,465	10,918	78,356
13.04.2012	16:10	85,536	16,051	168,933	77,489

Datum	Uhrzeit in UTC	Sonnenstrahl Azimut	Sonnenstrahl Höhenwinkel	Reflexionsstrahl Azimut	Reflexionsstrahl Zenitwinkel
13.04.2012	16:15	86,494	15,226	169,142	78,710
13.04.2012	16:20	87,447	14,400	169,345	79,931
13.04.2012	16:25	88,397	13,574	169,542	81,154
13.04.2012	16:30	89,342	12,747	169,733	82,377
14.04.2012	05:45	-89,270	13,296	10,692	82,017
14.04.2012	05:50	-88,324	14,123	10,886	80,795
14.04.2012	05:55	-87,374	14,949	11,086	79,575
14.04.2012	06:00	-86,420	15,775	11,292	78,355
14.04.2012	16:10	85,834	16,279	168,579	77,611
14.04.2012	16:15	86,791	15,454	168,789	78,830
14.04.2012	16:20	87,744	14,627	168,993	80,050
14.04.2012	16:25	88,692	13,801	169,191	81,271
14.04.2012	16:30	89,637	12,974	169,383	82,492
15.04.2012	05:45	-89,470	13,602	11,058	82,012
15.04.2012	05:50	-88,525	14,429	11,254	80,792
15.04.2012	05:55	-87,575	15,256	11,455	79,573
15.04.2012	06:00	-86,622	16,082	11,663	78,355
15.04.2012	16:10	86,131	16,505	168,228	77,730
15.04.2012	16:15	87,086	15,680	168,439	78,948
15.04.2012	16:20	88,038	14,853	168,644	80,167
15.04.2012	16:25	88,985	14,027	168,842	81,386
15.04.2012	16:30	89,929	13,200	169,035	82,606
16.04.2012	05:45	-89,671	13,906	11,422	82,009
16.04.2012	05:50	-88,726	14,733	11,619	80,791
16.04.2012	05:55	-87,777	15,559	11,821	79,574
16.04.2012	06:00	-86,824	16,385	12,031	78,357
16.04.2012	16:10	86,424	16,730	167,880	77,849
16.04.2012	16:15	87,379	15,905	168,092	79,065
16.04.2012	16:20	88,330	15,078	168,297	80,282
16.04.2012	16:25	89,276	14,251	168,496	81,500
17.04.2012	05:45	-89,871	14,206	11,783	82,008
17.04.2012	05:50	-88,927	15,032	11,981	80,791
17.04.2012	05:55	-87,979	15,859	12,185	79,575
17.04.2012	06:00	-87,026	16,685	12,395	78,361
17.04.2012	16:10	86,715	16,954	167,535	77,965
17.04.2012	16:15	87,669	16,128	167,747	79,180

Datum	Uhrzeit in UTC	Sonnenstrahl Azimut	Sonnenstrahl Höhenwinkel	Reflexionsstrahl Azimut	Reflexionsstrahl Zenitwinkel
17.04.2012	16:20	88,619	15,302	167,954	80,395
17.04.2012	16:25	89,564	14,475	168,153	81,612
18.04.2012	05:50	-89,127	15,329	12,340	80,793
18.04.2012	05:55	-88,180	16,156	12,545	79,579
18.04.2012	06:00	-87,228	16,982	12,757	78,366
18.04.2012	16:10	87,004	17,177	167,192	78,080
18.04.2012	16:15	87,957	16,350	167,406	79,293
18.04.2012	16:20	88,905	15,524	167,613	80,507
18.04.2012	16:25	89,849	14,697	167,813	81,722
19.04.2012	05:50	-89,328	15,622	12,695	80,796
19.04.2012	05:55	-88,381	16,449	12,902	79,584
19.04.2012	06:00	-87,430	17,275	13,115	78,372
19.04.2012	16:10	87,289	17,397	166,853	78,193
19.04.2012	16:15	88,241	16,571	167,067	79,405
19.04.2012	16:20	89,188	15,744	167,275	80,617
20.04.2012	05:50	-89,529	15,911	13,047	80,801
20.04.2012	05:55	-88,583	16,738	13,255	79,590
20.04.2012	06:00	-87,632	17,565	13,470	78,381
20.04.2012	16:10	87,572	17,617	166,516	78,304
20.04.2012	16:15	88,523	16,790	166,731	79,514
20.04.2012	16:20	89,469	15,963	166,940	80,725
21.04.2012	05:50	-89,729	16,197	13,396	80,808
21.04.2012	05:55	-88,784	17,024	13,605	79,599
21.04.2012	06:00	-87,834	17,850	13,821	78,391
21.04.2012	16:10	87,852	17,835	166,183	78,414
21.04.2012	16:15	88,801	17,008	166,399	79,621
21.04.2012	16:20	89,746	16,181	166,608	80,830
22.04.2012	05:50	-89,929	16,478	13,741	80,816
22.04.2012	05:55	-88,984	17,305	13,952	79,609
22.04.2012	06:00	-88,036	18,132	14,169	78,403
22.04.2012	16:10	88,129	18,051	165,852	78,521
22.04.2012	16:15	89,077	17,224	166,069	79,727
23.04.2012	05:55	-89,185	17,583	14,294	79,621
23.04.2012	06:00	-88,237	18,410	14,513	78,416
23.04.2012	16:05	87,450	19,093	165,300	77,422
23.04.2012	16:10	88,402	18,266	165,526	78,626

Datum	Uhrzeit in UTC	Sonnenstrahl Azimut	Sonnenstrahl Höhenwinkel	Reflexionsstrahl Azimut	Reflexionsstrahl Zenitwinkel
23.04.2012	16:15	89,349	17,439	165,743	79,830
24.04.2012	05:55	-89,385	17,857	14,633	79,634
24.04.2012	06:00	-88,438	18,683	14,853	78,432
24.04.2012	16:05	87,722	19,306	164,976	77,527
24.04.2012	16:10	88,672	18,479	165,202	78,728
24.04.2012	16:15	89,618	17,653	165,420	79,931
25.04.2012	05:55	-89,585	18,126	14,968	79,649
25.04.2012	06:00	-88,639	18,953	15,189	78,449
25.04.2012	16:05	87,989	19,518	164,655	77,629
25.04.2012	16:10	88,939	18,691	164,882	78,829
25.04.2012	16:15	89,884	17,864	165,101	80,029
26.04.2012	05:55	-89,785	18,391	15,298	79,666
26.04.2012	06:00	-88,840	19,218	15,521	78,468
26.04.2012	16:05	88,254	19,728	164,337	77,729
26.04.2012	16:10	89,202	18,901	164,565	78,927
27.04.2012	05:55	-89,984	18,652	15,625	79,685
27.04.2012	06:00	-89,040	19,479	15,849	78,488
27.04.2012	16:05	88,515	19,937	164,023	77,826
27.04.2012	16:10	89,462	19,110	164,252	79,022
28.04.2012	06:00	-89,239	19,735	16,173	78,511
28.04.2012	16:05	88,772	20,143	163,713	77,921
28.04.2012	16:10	89,717	19,316	163,942	79,115
29.04.2012	06:00	-89,438	19,987	16,492	78,535
29.04.2012	06:05	-88,491	20,814	16,727	77,344
29.04.2012	16:05	89,025	20,348	163,406	78,014
29.04.2012	16:10	89,969	19,521	163,636	79,206
30.04.2012	06:00	-89,637	20,234	16,807	78,561
30.04.2012	06:05	-88,691	21,061	17,043	77,371
30.04.2012	16:05	89,274	20,552	163,104	78,104
01.05.2012	06:00	-89,835	20,476	17,117	78,589
01.05.2012	06:05	-88,890	21,303	17,354	77,401
01.05.2012	16:05	89,519	20,753	162,805	78,191
02.05.2012	06:05	-89,088	21,541	17,661	77,433
02.05.2012	16:05	89,760	20,953	162,510	78,275
03.05.2012	06:05	-89,286	21,773	17,963	77,466
03.05.2012	16:05	89,997	21,150	162,219	78,357

Datum	Uhrzeit in UTC	Sonnenstrahl Azimut	Sonnenstrahl Höhenwinkel	Reflexionsstrahl Azimut	Reflexionsstrahl Zenitwinkel
04.05.2012	06:05	-89,483	22,001	18,260	77,501
05.05.2012	06:05	-89,679	22,224	18,551	77,537
05.05.2012	16:00	89,515	22,367	161,406	77,333
06.05.2012	06:05	-89,874	22,441	18,838	77,575
06.05.2012	16:00	89,740	22,559	161,126	77,408
07.05.2012	16:00	89,960	22,749	160,851	77,481
05.08.2012	06:15	-89,997	22,785	19,199	77,491
06.08.2012	06:15	-89,773	22,604	18,929	77,410
06.08.2012	16:10	89,921	22,474	161,110	77,595
07.08.2012	06:15	-89,543	22,422	18,656	77,326
07.08.2012	16:10	89,736	22,253	161,394	77,567
08.08.2012	16:10	89,551	22,026	161,684	77,541
09.08.2012	16:10	89,364	21,795	161,979	77,516
10.08.2012	06:10	-89,774	21,037	17,570	78,241
10.08.2012	16:10	89,178	21,559	162,278	77,494
11.08.2012	06:10	-89,528	20,847	17,282	78,148
11.08.2012	16:10	88,990	21,318	162,582	77,473
11.08.2012	16:15	89,935	20,491	162,820	78,660
12.08.2012	06:10	-89,278	20,656	16,989	78,051
12.08.2012	16:10	88,802	21,072	162,891	77,454
12.08.2012	16:15	89,748	20,245	163,127	78,643
13.08.2012	06:05	-89,969	19,637	16,462	79,144
13.08.2012	06:10	-89,024	20,464	16,693	77,952
13.08.2012	16:10	88,614	20,821	163,204	77,437
13.08.2012	16:15	89,561	19,994	163,439	78,628
14.08.2012	06:05	-89,712	19,442	16,163	79,044
14.08.2012	06:10	-88,766	20,269	16,393	77,850
14.08.2012	16:10	88,425	20,566	163,522	77,422
14.08.2012	16:15	89,373	19,739	163,755	78,615
15.08.2012	06:05	-89,451	19,246	15,860	78,941
15.08.2012	06:10	-88,504	20,073	16,090	77,746
15.08.2012	16:10	88,236	20,306	163,844	77,409
15.08.2012	16:15	89,185	19,479	164,076	78,604
16.08.2012	06:05	-89,187	19,049	15,554	78,836
16.08.2012	06:10	-88,239	19,876	15,783	77,638
16.08.2012	16:10	88,047	20,042	164,170	77,398

Datum	Uhrzeit in UTC	Sonnenstrahl Azimut	Sonnenstrahl Höhenwinkel	Reflexionsstrahl Azimut	Reflexionsstrahl Zenitwinkel
16.08.2012	16:15	88,996	19,215	164,400	78,595
16.08.2012	16:20	89,941	18,388	164,623	79,793
17.08.2012	06:00	-89,864	18,023	15,024	79,928
17.08.2012	06:05	-88,919	18,850	15,245	78,728
17.08.2012	06:10	-87,969	19,677	15,473	77,529
17.08.2012	16:10	87,858	19,773	164,500	77,388
17.08.2012	16:15	88,808	18,947	164,729	78,587
17.08.2012	16:20	89,753	18,120	164,950	79,787
18.08.2012	06:00	-89,593	17,822	14,712	79,819
18.08.2012	06:05	-88,647	18,649	14,932	78,617
18.08.2012	06:10	-87,696	19,476	15,159	77,417
18.08.2012	16:10	87,668	19,501	164,834	77,381
18.08.2012	16:15	88,619	18,674	165,062	78,582
18.08.2012	16:20	89,565	17,847	165,282	79,784
19.08.2012	06:00	-89,319	17,621	14,396	79,708
19.08.2012	06:05	-88,372	18,447	14,615	78,505
19.08.2012	16:10	87,478	19,223	165,172	77,376
19.08.2012	16:15	88,430	18,397	165,398	78,578
19.08.2012	16:20	89,377	17,570	165,617	79,782
20.08.2012	05:55	-89,986	16,590	13,867	80,801
20.08.2012	06:00	-89,042	17,417	14,078	79,595
20.08.2012	06:05	-88,094	18,244	14,296	78,389
20.08.2012	16:10	87,288	18,942	165,514	77,372
20.08.2012	16:15	88,241	18,116	165,738	78,576
20.08.2012	16:20	89,189	17,289	165,956	79,782
21.08.2012	05:55	-89,707	16,386	13,545	80,687
21.08.2012	06:00	-88,761	17,213	13,756	79,479
21.08.2012	06:05	-87,812	18,039	13,973	78,272
21.08.2012	16:10	87,098	18,657	165,859	77,370
21.08.2012	16:15	88,052	17,831	166,082	78,577
21.08.2012	16:20	89,000	17,004	166,298	79,784
21.08.2012	16:25	89,945	16,177	166,507	80,992
22.08.2012	05:55	-89,424	16,180	13,221	80,571
22.08.2012	06:00	-88,478	17,007	13,431	79,361
22.08.2012	06:05	-87,527	17,833	13,648	78,152
22.08.2012	16:10	86,909	18,368	166,208	77,371

Datum	Uhrzeit in UTC	Sonnenstrahl Azimut	Sonnenstrahl Höhenwinkel	Reflexionsstrahl Azimut	Reflexionsstrahl Zenitwinkel
22.08.2012	16:15	87,863	17,542	166,430	78,579
22.08.2012	16:20	88,812	16,715	166,644	79,788
22.08.2012	16:25	89,757	15,888	166,851	80,998
23.08.2012	05:55	-89,138	15,973	12,894	80,453
23.08.2012	06:00	-88,191	16,800	13,103	79,241
23.08.2012	06:05	-87,239	17,626	13,319	78,031
23.08.2012	16:10	86,719	18,075	166,561	77,373
23.08.2012	16:15	87,673	17,249	166,781	78,582
23.08.2012	16:20	88,623	16,423	166,993	79,793
23.08.2012	16:25	89,569	15,596	167,199	81,005
24.08.2012	05:50	-89,794	14,937	12,362	81,546
24.08.2012	05:55	-88,850	15,764	12,563	80,332
24.08.2012	06:00	-87,901	16,591	12,772	79,119
24.08.2012	06:05	-86,948	17,417	12,987	77,907
24.08.2012	16:10	86,529	17,779	166,916	77,377
24.08.2012	16:15	87,484	16,953	167,135	78,588
24.08.2012	16:20	88,435	16,126	167,346	79,801
24.08.2012	16:25	89,381	15,299	167,551	81,014
25.08.2012	05:50	-89,504	14,728	12,029	81,425
25.08.2012	05:55	-88,558	15,554	12,230	80,210
25.08.2012	06:00	-87,608	16,381	12,438	78,995
25.08.2012	06:05	-86,654	17,207	12,652	77,781
25.08.2012	16:10	86,339	17,479	167,275	77,382
25.08.2012	16:15	87,295	16,653	167,492	78,595
25.08.2012	16:20	88,246	15,827	167,702	79,810
25.08.2012	16:25	89,193	15,000	167,905	81,025
26.08.2012	05:50	-89,211	14,517	11,694	81,302
26.08.2012	05:55	-88,264	15,343	11,894	80,085
26.08.2012	06:00	-87,313	16,170	12,101	78,869
26.08.2012	06:05	-86,358	16,996	12,315	77,654
26.08.2012	16:10	86,149	17,175	167,638	77,390
26.08.2012	16:15	87,106	16,349	167,853	78,605
26.08.2012	16:20	88,058	15,523	168,061	79,821
26.08.2012	16:25	89,005	14,696	168,263	81,037
26.08.2012	16:30	89,949	13,869	168,459	82,255
27.08.2012	05:45	-89,859	13,478	11,162	82,397

Datum	Uhrzeit in UTC	Sonnenstrahl Azimut	Sonnenstrahl Höhenwinkel	Reflexionsstrahl Azimut	Reflexionsstrahl Zenitwinkel
27.08.2012	05:50	-88,915	14,304	11,356	81,177
27.08.2012	05:55	-87,967	15,131	11,556	79,959
27.08.2012	06:00	-87,015	15,957	11,762	78,741
27.08.2012	06:05	-86,059	16,783	11,975	77,524
27.08.2012	16:10	85,960	16,868	168,003	77,399
27.08.2012	16:15	86,917	16,043	168,216	78,616
27.08.2012	16:20	87,869	15,217	168,423	79,833
27.08.2012	16:25	88,817	14,390	168,624	81,052
27.08.2012	16:30	89,762	13,563	168,818	82,271
28.08.2012	05:45	-89,562	13,264	10,822	82,272
28.08.2012	05:50	-88,616	14,091	11,015	81,051
28.08.2012	05:55	-87,668	14,918	11,215	79,831
28.08.2012	06:00	-86,715	15,744	11,420	78,612
28.08.2012	06:05	-85,757	16,569	11,632	77,393
28.08.2012	16:10	85,770	16,558	168,371	77,410
28.08.2012	16:15	86,728	15,733	168,583	78,628
28.08.2012	16:20	87,681	14,907	168,788	79,847
28.08.2012	16:25	88,629	14,080	168,987	81,067
28.08.2012	16:30	89,574	13,253	169,181	82,288
29.08.2012	05:45	-89,262	13,050	10,479	82,145
29.08.2012	05:50	-88,316	13,877	10,672	80,922
29.08.2012	05:55	-87,366	14,703	10,871	79,701
29.08.2012	06:00	-86,412	15,529	11,076	78,481
29.08.2012	16:10	85,581	16,245	168,742	77,423
29.08.2012	16:15	86,539	15,419	168,952	78,642
29.08.2012	16:20	87,492	14,594	169,156	79,863
29.08.2012	16:25	88,441	13,767	169,354	81,085
29.08.2012	16:30	89,387	12,940	169,546	82,307
30.08.2012	05:45	-88,959	12,834	10,135	82,016
30.08.2012	05:50	-88,012	13,661	10,327	80,793
30.08.2012	05:55	-87,062	14,487	10,525	79,570
30.08.2012	06:00	-86,107	15,313	10,729	78,348
30.08.2012	16:10	85,391	15,928	169,116	77,437
30.08.2012	16:15	86,350	15,103	169,324	78,658
30.08.2012	16:20	87,304	14,277	169,526	79,880
30.08.2012	16:25	88,253	13,451	169,722	81,103

Datum	Uhrzeit in UTC	Sonnenstrahl Azimut	Sonnenstrahl Höhenwinkel	Reflexionsstrahl Azimut	Reflexionsstrahl Zenitwinkel
30.08.2012	16:30	89,199	12,624	169,913	82,327
31.08.2012	05:45	-88,655	12,618	9,787	81,886
31.08.2012	05:50	-87,707	13,444	9,979	80,661
31.08.2012	05:55	-86,755	14,270	10,176	79,437
31.08.2012	06:00	-85,799	15,096	10,379	78,214
31.08.2012	16:10	85,202	15,609	169,492	77,453
31.08.2012	16:15	86,161	14,784	169,698	78,676
31.08.2012	16:20	87,115	13,958	169,899	79,899
31.08.2012	16:25	88,065	13,132	170,094	81,124
31.08.2012	16:30	89,012	12,305	170,284	82,349
01.09.2012	05:45	-88,348	12,400	9,438	81,754
01.09.2012	05:50	-87,400	13,226	9,629	80,528
01.09.2012	05:55	-86,447	14,052	9,825	79,303
01.09.2012	06:00	-85,490	14,877	10,027	78,078
01.09.2012	16:10	85,013	15,287	169,871	77,470
01.09.2012	16:15	85,972	14,462	170,075	78,695
01.09.2012	16:20	86,927	13,637	170,274	79,920
01.09.2012	16:25	87,878	12,811	170,468	81,145
01.09.2012	16:30	88,825	11,984	170,656	82,372
02.09.2012	05:40	-88,986	11,354	8,901	82,850
02.09.2012	05:45	-88,040	12,181	9,086	81,622
02.09.2012	05:50	-87,090	13,008	9,277	80,394
02.09.2012	05:55	-86,137	13,833	9,472	79,167
02.09.2012	06:00	-85,179	14,658	9,673	77,941
02.09.2012	16:10	84,824	14,962	170,252	77,489
02.09.2012	16:15	85,784	14,138	170,455	78,715
02.09.2012	16:20	86,739	13,312	170,652	79,941
02.09.2012	16:25	87,690	12,486	170,844	81,169
02.09.2012	16:30	88,637	11,660	171,031	82,396
03.09.2012	05:40	-88,676	11,135	8,547	82,717
03.09.2012	05:45	-87,729	11,961	8,732	81,487
03.09.2012	05:50	-86,779	12,787	8,922	80,259
03.09.2012	05:55	-85,824	13,613	9,117	79,031
03.09.2012	06:00	-84,866	14,437	9,316	77,804
03.09.2012	16:10	84,635	14,634	170,635	77,510
03.09.2012	16:15	85,595	13,810	170,836	78,737

Datum	Uhrzeit in UTC	Sonnenstrahl Azimut	Sonnenstrahl Höhenwinkel	Reflexionsstrahl Azimut	Reflexionsstrahl Zenitwinkel
03.09.2012	16:20	86,551	12,985	171,032	79,965
03.09.2012	16:25	87,502	12,159	171,223	81,193
03.09.2012	16:30	88,450	11,333	171,409	82,422
04.09.2012	05:40	-88,365	10,914	8,192	82,582
04.09.2012	05:45	-87,417	11,741	8,376	81,352
04.09.2012	05:50	-86,466	12,566	8,565	80,122
04.09.2012	05:55	-85,510	13,391	8,759	78,893
04.09.2012	06:00	-84,551	14,215	8,958	77,665
04.09.2012	16:10	84,447	14,305	171,021	77,532
04.09.2012	16:15	85,407	13,481	171,220	78,760
04.09.2012	16:20	86,362	12,656	171,414	79,989
04.09.2012	16:25	87,314	11,830	171,603	81,219
04.09.2012	16:30	88,262	11,004	171,788	82,449
05.09.2012	05:40	-88,052	10,692	7,835	82,447
05.09.2012	05:45	-87,103	11,519	8,018	81,215
05.09.2012	05:50	-86,151	12,344	8,207	79,985
05.09.2012	05:55	-85,195	13,169	8,399	78,754
05.09.2012	06:00	-84,235	13,992	8,597	77,525
05.09.2012	16:10	84,258	13,972	171,408	77,555
05.09.2012	16:15	85,218	13,149	171,606	78,785
05.09.2012	16:20	86,174	12,324	171,798	80,015
05.09.2012	16:25	87,126	11,498	171,986	81,246
05.09.2012	16:30	88,075	10,672	172,170	82,477
06.09.2012	05:40	-87,737	10,470	7,476	82,311
06.09.2012	05:45	-86,788	11,296	7,659	81,078
06.09.2012	05:50	-85,835	12,121	7,846	79,846
06.09.2012	05:55	-84,878	12,945	8,037	78,615
06.09.2012	06:00	-83,917	13,769	8,234	77,384
06.09.2012	16:10	84,070	13,638	171,798	77,579
06.09.2012	16:15	85,030	12,815	171,993	78,810
06.09.2012	16:20	85,986	11,990	172,184	80,042
06.09.2012	16:25	86,939	11,165	172,371	81,274
06.09.2012	16:30	87,888	10,338	172,553	82,506
07.09.2012	05:40	-87,421	10,246	7,115	82,173
07.09.2012	05:45	-86,471	11,072	7,297	80,940
07.09.2012	05:50	-85,517	11,897	7,483	79,707

Datum	Uhrzeit in UTC	Sonnenstrahl Azimut	Sonnenstrahl Höhenwinkel	Reflexionsstrahl Azimut	Reflexionsstrahl Zenitwinkel
07.09.2012	05:55	-84,560	12,721	7,674	78,474
07.09.2012	16:10	83,882	13,301	172,189	77,605
07.09.2012	16:15	84,842	12,478	172,383	78,837
07.09.2012	16:20	85,798	11,654	172,572	80,070
07.09.2012	16:25	86,751	10,829	172,757	81,303
07.09.2012	16:30	87,700	10,003	172,938	82,537
08.09.2012	05:40	-87,103	10,022	6,752	82,035
08.09.2012	05:45	-86,153	10,847	6,933	80,801
08.09.2012	05:50	-85,198	11,672	7,119	79,567
08.09.2012	05:55	-84,240	12,495	7,308	78,333
08.09.2012	16:10	83,693	12,963	172,582	77,632
08.09.2012	16:15	84,654	12,140	172,774	78,865
08.09.2012	16:20	85,610	11,316	172,962	80,099
08.09.2012	16:25	86,563	10,491	173,145	81,333
08.09.2012	16:30	87,513	9,665	173,325	82,568
09.09.2012	05:40	-86,785	9,796	6,388	81,896
09.09.2012	05:45	-85,833	10,621	6,568	80,661
09.09.2012	05:50	-84,878	11,446	6,753	79,426
09.09.2012	05:55	-83,919	12,269	6,941	78,192
09.09.2012	16:10	83,505	12,623	172,977	77,660
09.09.2012	16:15	84,466	11,800	173,167	78,895
09.09.2012	16:20	85,423	10,976	173,353	80,129
09.09.2012	16:25	86,375	10,151	173,535	81,364
09.09.2012	16:30	87,325	9,326	173,713	82,600
10.09.2012	05:40	-86,465	9,570	6,022	81,757
10.09.2012	05:45	-85,513	10,395	6,201	80,521
10.09.2012	05:50	-84,557	11,219	6,385	79,285
10.09.2012	05:55	-83,598	12,041	6,572	78,049
10.09.2012	16:10	83,317	12,281	173,373	77,690
10.09.2012	16:15	84,278	11,458	173,561	78,925
10.09.2012	16:20	85,235	10,635	173,746	80,161
10.09.2012	16:25	86,188	9,810	173,926	81,397
10.09.2012	16:30	87,137	8,984	174,103	82,633
11.09.2012	05:35	-87,093	8,517	5,479	82,854
11.09.2012	05:40	-86,144	9,342	5,654	81,617
11.09.2012	05:45	-85,191	10,167	5,833	80,380

Datum	Uhrzeit in UTC	Sonnenstrahl Azimut	Sonnenstrahl Höhenwinkel	Reflexionsstrahl Azimut	Reflexionsstrahl Zenitwinkel
11.09.2012	05:50	-84,235	10,990	6,015	79,143
11.09.2012	05:55	-83,275	11,813	6,201	77,907
11.09.2012	16:10	83,129	11,937	173,771	77,720
11.09.2012	16:15	84,090	11,115	173,957	78,956
11.09.2012	16:20	85,047	10,292	174,140	80,193
11.09.2012	16:25	86,000	9,467	174,319	81,430
11.09.2012	16:30	86,950	8,642	174,495	82,667
12.09.2012	05:35	-86,772	8,289	5,111	82,715
12.09.2012	05:40	-85,822	9,114	5,285	81,477
12.09.2012	05:45	-84,869	9,938	5,463	80,239
12.09.2012	05:50	-83,912	10,761	5,644	79,001
12.09.2012	05:55	-82,952	11,583	5,828	77,764
12.09.2012	16:10	82,941	11,592	174,170	77,751
12.09.2012	16:15	83,902	10,770	174,354	78,988
12.09.2012	16:20	84,859	9,947	174,535	80,226
12.09.2012	16:25	85,812	9,123	174,713	81,463
12.09.2012	16:30	86,762	8,298	174,888	82,702
13.09.2012	05:35	-86,450	8,060	4,741	82,575
13.09.2012	05:40	-85,500	8,885	4,915	81,336
13.09.2012	05:45	-84,546	9,709	5,091	80,098
13.09.2012	05:50	-83,589	10,532	5,271	78,859
13.09.2012	05:55	-82,628	11,353	5,454	77,621
13.09.2012	16:10	82,754	11,245	174,570	77,783
13.09.2012	16:15	83,714	10,424	174,752	79,021
13.09.2012	16:20	84,671	9,601	174,932	80,259
13.09.2012	16:25	85,624	8,777	175,108	81,498
13.09.2012	16:30	86,574	7,952	175,281	82,737
14.09.2012	05:35	-86,128	7,830	4,370	82,435
14.09.2012	05:40	-85,177	8,655	4,543	81,195
14.09.2012	05:45	-84,223	9,479	4,719	79,956
14.09.2012	05:50	-83,265	10,301	4,897	78,717
14.09.2012	05:55	-82,303	11,121	5,079	77,479
14.09.2012	16:10	82,566	10,898	174,971	77,816
14.09.2012	16:15	83,526	10,077	175,152	79,055
14.09.2012	16:20	84,483	9,254	175,329	80,294
14.09.2012	16:25	85,436	8,431	175,504	81,533

Datum	Uhrzeit in UTC	Sonnenstrahl Azimut	Sonnenstrahl Höhenwinkel	Reflexionsstrahl Azimut	Reflexionsstrahl Zenitwinkel
14.09.2012	16:30	86,386	7,606	175,676	82,773
15.09.2012	05:35	-85,804	7,600	3,998	82,295
15.09.2012	05:40	-84,853	8,424	4,170	81,054
15.09.2012	05:45	-83,899	9,247	4,345	79,815
15.09.2012	05:50	-82,941	10,069	4,522	78,575
15.09.2012	05:55	-81,979	10,889	4,702	77,336
15.09.2012	16:10	82,378	10,549	175,373	77,849
15.09.2012	16:15	83,338	9,729	175,552	79,089
15.09.2012	16:20	84,295	8,906	175,728	80,329
15.09.2012	16:25	85,248	8,083	175,902	81,569
15.09.2012	16:30	86,198	7,258	176,072	82,809
16.09.2012	05:35	-85,481	7,369	3,625	82,154
16.09.2012	05:40	-84,529	8,193	3,796	80,914
16.09.2012	05:45	-83,574	9,015	3,969	79,673
16.09.2012	05:50	-82,616	9,836	4,145	78,433
16.09.2012	16:10	82,190	10,200	175,776	77,884
16.09.2012	16:15	83,150	9,379	175,953	79,124
16.09.2012	16:20	84,106	8,557	176,128	80,364
16.09.2012	16:25	85,059	7,734	176,300	81,605
16.09.2012	16:30	86,010	6,910	176,469	82,845
17.09.2012	05:35	-85,157	7,137	3,251	82,014
17.09.2012	05:40	-84,205	7,960	3,421	80,773
17.09.2012	05:45	-83,250	8,782	3,593	79,532
17.09.2012	05:50	-82,291	9,603	3,767	78,291
17.09.2012	16:10	82,002	9,849	176,180	77,918
17.09.2012	16:15	82,962	9,029	176,355	79,159
17.09.2012	16:20	83,918	8,208	176,528	80,400
17.09.2012	16:25	84,871	7,385	176,699	81,641
18.09.2012	05:35	-84,833	6,904	2,875	81,874
18.09.2012	05:40	-83,880	7,727	3,044	80,633
18.09.2012	05:45	-82,925	8,549	3,215	79,391
18.09.2012	05:50	-81,966	9,369	3,388	78,150
18.09.2012	16:10	81,814	9,498	176,584	77,954
18.09.2012	16:15	82,774	8,679	176,758	79,195
18.09.2012	16:20	83,730	7,857	176,929	80,436
18.09.2012	16:25	84,682	7,034	177,098	81,678

Datum	Uhrzeit in UTC	Sonnenstrahl Azimut	Sonnenstrahl Höhenwinkel	Reflexionsstrahl Azimut	Reflexionsstrahl Zenitwinkel
19.09.2012	05:35	-84,509	6,671	2,499	81,735
19.09.2012	05:40	-83,556	7,493	2,667	80,493
19.09.2012	05:45	-82,600	8,314	2,837	79,251
19.09.2012	05:50	-81,641	9,133	3,008	78,009
19.09.2012	16:10	81,626	9,146	176,989	77,989
19.09.2012	16:15	82,585	8,327	177,161	79,231
19.09.2012	16:20	83,541	7,506	177,330	80,473
19.09.2012	16:25	84,493	6,684	177,498	81,715
20.09.2012	05:30	-85,135	5,613	1,957	82,838
20.09.2012	05:35	-84,185	6,436	2,122	81,596
20.09.2012	05:40	-83,232	7,258	2,289	80,353
20.09.2012	05:45	-82,276	8,079	2,457	79,111
20.09.2012	05:50	-81,316	8,897	2,627	77,869
20.09.2012	16:10	81,438	8,794	177,394	78,025
20.09.2012	16:15	82,397	7,976	177,564	79,268
20.09.2012	16:20	83,352	7,155	177,732	80,510
20.09.2012	16:25	84,304	6,333	177,899	81,752
21.09.2012	05:30	-84,811	5,378	1,580	82,700
21.09.2012	05:35	-83,861	6,201	1,744	81,457
21.09.2012	05:40	-82,908	7,023	1,910	80,214
21.09.2012	05:45	-81,952	7,843	2,077	78,972
21.09.2012	05:50	-80,992	8,661	2,245	77,729
21.09.2012	16:10	81,249	8,442	177,800	78,062
21.09.2012	16:15	82,208	7,624	177,968	79,304
21.09.2012	16:20	83,163	6,803	178,135	80,547
21.09.2012	16:25	84,115	5,981	178,300	81,790
22.09.2012	05:30	-84,487	5,143	1,203	82,562
22.09.2012	05:35	-83,537	5,966	1,366	81,319
22.09.2012	05:40	-82,584	6,787	1,530	80,076
22.09.2012	05:45	-81,628	7,606	1,696	78,833
22.09.2012	05:50	-80,668	8,423	1,863	77,591
22.09.2012	16:10	81,061	8,090	178,206	78,098
22.09.2012	16:15	82,019	7,272	178,372	79,341
22.09.2012	16:20	82,974	6,452	178,537	80,584
22.09.2012	16:25	83,926	5,630	178,701	81,827
23.09.2012	05:30	-84,164	4,907	0,825	82,425

Datum	Uhrzeit in UTC	Sonnenstrahl Azimut	Sonnenstrahl Höhenwinkel	Reflexionsstrahl Azimut	Reflexionsstrahl Zenitwinkel
23.09.2012	05:35	-83,214	5,729	0,987	81,182
23.09.2012	05:40	-82,261	6,550	1,150	79,939
23.09.2012	05:45	-81,305	7,368	1,314	78,696
23.09.2012	05:50	-80,345	8,185	1,479	77,453
23.09.2012	16:10	80,872	7,737	178,612	78,135
23.09.2012	16:15	81,830	6,920	178,776	79,378
23.09.2012	16:20	82,784	6,100	178,940	80,621
23.09.2012	16:25	83,736	5,279	179,102	81,864
24.09.2012	05:30	-83,842	4,671	0,447	82,289
24.09.2012	05:35	-82,891	5,492	0,607	81,046
24.09.2012	05:40	-81,938	6,312	0,769	79,803
24.09.2012	05:45	-80,982	7,130	0,931	78,559
24.09.2012	16:10	80,683	7,385	179,018	78,172
24.09.2012	16:15	81,640	6,568	179,181	79,415
24.09.2012	16:20	82,594	5,748	179,342	80,658
24.09.2012	16:25	83,546	4,927	179,503	81,901
25.09.2012	05:30	-83,520	4,434	0,068	82,154
25.09.2012	05:35	-82,570	5,255	0,227	80,911
25.09.2012	05:40	-81,616	6,074	0,387	79,667
25.09.2012	05:45	-80,660	6,891	0,548	78,424
25.09.2012	16:10	80,494	7,033	179,424	78,208
25.09.2012	16:15	81,451	6,216	179,585	79,451
25.09.2012	16:20	82,404	5,397	179,745	80,695
25.09.2012	16:25	83,355	4,576	179,905	81,938
26.09.2012	05:30	-83,199	4,196	-0,312	82,020
26.09.2012	05:35	-82,248	5,016	-0,153	80,776
26.09.2012	05:40	-81,295	5,835	0,005	79,533
26.09.2012	05:45	-80,339	6,651	0,165	78,290
26.09.2012	16:10	80,304	6,681	179,829	78,245
26.09.2012	16:15	81,261	5,865	179,989	79,488
26.09.2012	16:20	82,214	5,046	-179,852	80,731
26.09.2012	16:25	83,164	4,226	-179,694	81,974
27.09.2012	05:30	-82,878	3,958	-0,691	81,887
27.09.2012	05:35	-81,928	4,778	-0,534	80,643
27.09.2012	05:40	-80,975	5,595	-0,377	79,400
27.09.2012	05:45	-80,019	6,411	-0,219	78,157

Datum	Uhrzeit in UTC	Sonnenstrahl Azimut	Sonnenstrahl Höhenwinkel	Reflexionsstrahl Azimut	Reflexionsstrahl Zenitwinkel
27.09.2012	16:10	80,114	6,330	-179,765	78,281
27.09.2012	16:15	81,070	5,514	-179,608	79,524
27.09.2012	16:20	82,023	4,696	-179,450	80,767
27.09.2012	16:25	82,973	3,876	-179,293	82,011
28.09.2012	05:30	-82,559	3,719	-1,071	81,755
28.09.2012	05:35	-81,609	4,538	-0,915	80,512
28.09.2012	05:40	-80,656	5,355	-0,759	79,269
28.09.2012	05:45	-79,700	6,170	-0,603	78,026
28.09.2012	16:10	79,924	5,979	-179,360	78,317
28.09.2012	16:15	80,880	5,164	-179,204	79,560
28.09.2012	16:20	81,832	4,346	-179,049	80,803
28.09.2012	16:25	82,781	3,527	-178,893	82,046
29.09.2012	05:25	-83,189	2,659	-1,605	82,868
29.09.2012	05:30	-82,241	3,479	-1,450	81,625
29.09.2012	05:35	-81,291	4,298	-1,296	80,382
29.09.2012	05:40	-80,338	5,114	-1,142	79,139
29.09.2012	05:45	-79,382	5,929	-0,988	77,896
29.09.2012	16:10	79,734	5,630	-178,956	78,352
29.09.2012	16:15	80,689	4,815	-178,802	79,595
29.09.2012	16:20	81,640	3,998	-178,647	80,838
29.09.2012	16:25	82,589	3,178	-178,493	82,081
30.09.2012	05:25	-82,871	2,420	-1,983	82,739
30.09.2012	05:30	-81,924	3,240	-1,830	81,496
30.09.2012	05:35	-80,974	4,057	-1,677	80,253
30.09.2012	05:40	-80,022	4,873	-1,524	79,010
30.09.2012	05:45	-79,066	5,686	-1,372	77,767
30.09.2012	16:10	79,543	5,281	-178,552	78,387
30.09.2012	16:15	80,497	4,467	-178,399	79,630
30.09.2012	16:20	81,448	3,650	-178,247	80,873
30.09.2012	16:25	82,397	2,831	-178,094	82,116
01.10.2012	05:25	-82,556	2,180	-2,362	82,611
01.10.2012	05:30	-81,609	2,999	-2,210	81,369
01.10.2012	05:35	-80,659	3,816	-2,058	80,126
01.10.2012	05:40	-79,707	4,631	-1,907	78,884
01.10.2012	05:45	-78,751	5,444	-1,756	77,641
01.10.2012	16:10	79,352	4,933	-178,149	78,422

Datum	Uhrzeit in UTC	Sonnenstrahl Azimut	Sonnenstrahl Höhenwinkel	Reflexionsstrahl Azimut	Reflexionsstrahl Zenitwinkel
01.10.2012	16:15	80,306	4,119	-177,998	79,664
01.10.2012	16:20	81,256	3,303	-177,847	80,907
01.10.2012	16:25	82,204	2,485	-177,695	82,149
02.10.2012	05:25	-82,241	1,940	-2,740	82,485
02.10.2012	05:30	-81,295	2,758	-2,589	81,243
02.10.2012	05:35	-80,345	3,575	-2,439	80,001
02.10.2012	05:40	-79,393	4,389	-2,290	78,759
02.10.2012	05:45	-78,438	5,200	-2,141	77,516
02.10.2012	16:10	79,161	4,587	-177,747	78,456
02.10.2012	16:15	80,113	3,773	-177,597	79,698
02.10.2012	16:20	81,063	2,958	-177,448	80,940
02.10.2012	16:25	82,010	2,140	-177,297	82,182
03.10.2012	05:25	-81,929	1,699	-3,118	82,361
03.10.2012	05:30	-80,982	2,517	-2,968	81,120
03.10.2012	05:35	-80,033	3,332	-2,820	79,878
03.10.2012	05:40	-79,082	4,146	-2,672	78,636
03.10.2012	05:45	-78,127	4,956	-2,525	77,394
03.10.2012	16:10	78,969	4,242	-177,345	78,489
03.10.2012	16:15	79,921	3,429	-177,198	79,731
03.10.2012	16:20	80,870	2,613	-177,049	80,972
03.10.2012	16:25	81,816	1,796	-176,900	82,214
04.10.2012	05:25	-81,617	1,458	-3,495	82,239
04.10.2012	05:30	-80,671	2,275	-3,347	80,998
04.10.2012	05:35	-79,723	3,090	-3,200	79,756
04.10.2012	05:40	-78,772	3,902	-3,054	78,515
04.10.2012	16:10	78,776	3,898	-176,945	78,521
04.10.2012	16:15	79,728	3,086	-176,799	79,762
04.10.2012	16:20	80,676	2,271	-176,652	81,004
04.10.2012	16:25	81,622	1,454	-176,504	82,245
05.10.2012	05:25	-81,308	1,216	-3,872	82,119
05.10.2012	05:30	-80,363	2,033	-3,725	80,878
05.10.2012	05:35	-79,415	2,847	-3,580	79,637
05.10.2012	05:40	-78,464	3,658	-3,436	78,396
05.10.2012	16:10	78,583	3,556	-176,546	78,552
05.10.2012	16:15	79,534	2,744	-176,402	79,793
05.10.2012	16:20	80,482	1,930	-176,256	81,034

Datum	Uhrzeit in UTC	Sonnenstrahl Azimut	Sonnenstrahl Höhenwinkel	Reflexionsstrahl Azimut	Reflexionsstrahl Zenitwinkel
05.10.2012	16:25	81,427	1,113	-176,109	82,275
06.10.2012	05:25	-81,001	0,974	-4,248	82,000
06.10.2012	05:30	-80,056	1,790	-4,103	80,760
06.10.2012	05:35	-79,108	2,603	-3,959	79,520
06.10.2012	05:40	-78,158	3,414	-3,817	78,280
06.10.2012	16:05	77,437	4,025	-176,290	77,342
06.10.2012	16:10	78,390	3,216	-176,148	78,583
06.10.2012	16:15	79,340	2,405	-176,006	79,823
06.10.2012	16:20	80,287	1,591	-175,861	81,063
06.10.2012	16:25	81,231	0,774	-175,716	82,303
07.10.2012	05:25	-80,696	0,732	-4,624	81,884
07.10.2012	05:30	-79,751	1,547	-4,480	80,645
07.10.2012	05:35	-78,804	2,360	-4,338	79,405
07.10.2012	05:40	-77,854	3,169	-4,198	78,166
07.10.2012	16:05	77,245	3,686	-175,892	77,372
07.10.2012	16:10	78,196	2,878	-175,752	78,612
07.10.2012	16:15	79,145	2,067	-175,611	79,852
07.10.2012	16:20	80,092	1,254	-175,468	81,092
07.10.2012	16:25	81,035	0,438	-175,324	82,331
08.10.2012	05:25	-80,392	0,489	-4,999	81,771
08.10.2012	05:30	-79,448	1,304	-4,857	80,532
08.10.2012	05:35	-78,502	2,115	-4,716	79,293
08.10.2012	05:40	-77,552	2,924	-4,578	78,054
08.10.2012	16:05	77,051	3,349	-175,495	77,401
08.10.2012	16:10	78,002	2,542	-175,357	78,641
08.10.2012	16:15	78,950	1,731	-175,217	79,880
08.10.2012	16:20	79,896	0,918	-175,076	81,118
08.10.2012	16:25	80,839	0,103	-174,933	82,357
09.10.2012	05:25	-80,092	0,247	-5,373	81,659
09.10.2012	05:30	-79,148	1,060	-5,232	80,421
09.10.2012	05:35	-78,202	1,871	-5,094	79,183
09.10.2012	05:40	-77,253	2,679	-4,957	77,944
09.10.2012	16:05	76,857	3,015	-175,100	77,429
09.10.2012	16:10	77,807	2,208	-174,964	78,668
09.10.2012	16:15	78,755	1,398	-174,826	79,906
09.10.2012	16:20	79,699	0,585	-174,686	81,144

Datum	Uhrzeit in UTC	Sonnenstrahl Azimut	Sonnenstrahl Höhenwinkel	Reflexionsstrahl Azimut	Reflexionsstrahl Zenitwinkel
10.10.2012	05:25	-79,793	0,003	-5,747	81,550
10.10.2012	05:30	-78,850	0,816	-5,607	80,313
10.10.2012	05:35	-77,905	1,626	-5,470	79,076
10.10.2012	05:40	-76,957	2,433	-5,335	77,838
10.10.2012	16:05	76,663	2,682	-174,706	77,455
10.10.2012	16:10	77,612	1,876	-174,572	78,693
10.10.2012	16:15	78,558	1,067	-174,435	79,931
10.10.2012	16:20	79,502	0,255	-174,297	81,168
11.10.2012	05:30	-78,555	0,572	-5,981	80,208
11.10.2012	05:35	-77,610	1,381	-5,845	78,971
11.10.2012	05:40	-76,663	2,188	-5,712	77,734
11.10.2012	16:05	76,468	2,352	-174,315	77,481
11.10.2012	16:10	77,416	1,546	-174,182	78,718
11.10.2012	16:15	78,362	0,738	-174,047	79,954
12.10.2012	05:30	-78,262	0,328	-6,353	80,105
12.10.2012	05:35	-77,318	1,136	-6,220	78,869
12.10.2012	05:40	-76,371	1,941	-6,088	77,633
12.10.2012	16:05	76,273	2,025	-173,925	77,505
12.10.2012	16:10	77,220	1,220	-173,794	78,741
12.10.2012	16:15	78,165	0,412	-173,661	79,977
13.10.2012	05:30	-77,972	0,083	-6,725	80,005
13.10.2012	05:35	-77,029	0,891	-6,593	78,770
13.10.2012	05:40	-76,083	1,695	-6,463	77,534
13.10.2012	16:05	76,077	1,700	-173,537	77,527
13.10.2012	16:10	77,023	0,896	-173,408	78,762
13.10.2012	16:15	77,967	0,088	-173,276	79,997
14.10.2012	05:35	-76,743	0,645	-6,964	78,673
14.10.2012	05:40	-75,797	1,449	-6,837	77,439
14.10.2012	16:05	75,881	1,378	-173,152	77,548
14.10.2012	16:10	76,826	0,574	-173,024	78,782
15.10.2012	05:35	-76,460	0,400	-7,335	78,580
15.10.2012	05:40	-75,515	1,202	-7,209	77,347
15.10.2012	16:05	75,684	1,059	-172,769	77,567
15.10.2012	16:10	76,628	0,256	-172,643	78,800
16.10.2012	05:35	-76,180	0,154	-7,703	78,490
16.10.2012	16:05	75,487	0,743	-172,388	77,585

Datum	Uhrzeit in UTC	Sonnenstrahl Azimut	Sonnenstrahl Höhenwinkel	Reflexionsstrahl Azimut	Reflexionsstrahl Zenitwinkel
17.10.2012	16:05	75,289	0,431	-172,009	77,600
18.10.2012	16:05	75,090	0,121	-171,633	77,614